

**UNIVERSITATEA TEHNICĂ „GH. ASACHI” IAŞI
FACULTATEA DE INGINERIE CHIMICĂ SI PROTECȚIA MEDIULUI**

**STUDII PRIVIND SINTEZA ȘI
CONDIȚIONAREA BISOPROLOLULUI**

REZUMATUL TEZEI DE DOCTORAT

**Doctorand,
Chim. Gianina-Gabriela Pește**

**Conducător științific,
Prof. univ. dr. ing. Corneliu Oniscu**

Iași - 2010

UNIVERSITATEA TEHNICA "GHEORGHE ASACHI" IASI

RECTORATUL

Va facem cunoscut ca in ziua dela orain
.....va avea loc sustinerea publica
a tezei de doctorat intitulata:

"STUDII PRIVIND SINTEZA SI CONDITIONAREA BISOPROLOLULUI"

elaborata de domnisoara chimist GIANINA-GABRIELA PESTE in vederea conferirii titlului stiintific de doctor.

Comisia de doctorat este alcătuită din:

Prof. Dr. Ing. DAN CASCAVAL	Președinte
Universitatea Tehnica "Gh. Asachi" Iasi	Conducător științific
Prof. Dr. Ing. CORNELIU ONISCU	Referent oficial
Universitatea Tehnica "Gh. Asachi" Iasi	Referent oficial
Prof. Dr. Chim. GABRIEL DROCHIOIU	Referent oficial
Universitatea "A. I. Cuza" Iasi	Referent oficial
Conf. Dr. Ing. EUGEN HOROBA	Referent oficial
Universitatea Tehnica "Gh. Asachi" Iasi	Referent oficial
Dr. Ing. CS1 CRISTINA-VICTORINA VLASE	Referent oficial
Centrul de Evaluare a Medicamentului, S.C. Antibiotice S.A. Iasi	

Va trimitem rezumatul tezei de doctorat, cu rugamintea de a ne comunica in scris, in doua exemplare, aprecierile dumneavoastra.

Cu aceasta ocazie, va invitam la sustinerea publica a tezei de doctorat.

RECTOR
Prof. Univ. Dr. Ing. ION GIURMA



Secretar universitate,
Ing. Cristina Nagat

due

CUPRINS

Partea I : STUDII DE LITERATURA PRIVIND SINTEZA SI CONDITIONAREA BISOPROLOLULUI 8

Cap. 1. STUDII DE LITERATURA PRIVIND MEDICAMENTELE CARDIOVASCULARE ANTIHIPERTENSIVE BETA-BLOCANTE	10
1.1. Locul medicamentelor beta-blocante in terapia cardiovasculara	10
1.1.1. Introducere	10
1.1.2. Indicatii si strategii de utilizare a medicamentelor beta-blocante	11
1.2. Realizari si perspective in clasa medicamentelor antihipertensive beta-blocante	13
1.2.1. Aspecte privind clasificarea, structura chimica si mecanismele de actiune ale medicamentelor beta-blocante	13
1.2.2. Relatii structura chimica-actiune biologica in clasa medicamentelor beta-blocante	18
1.2.3. Toxicitatea si efectele secundare in clasa medicamentelor beta-blocante	21
1.2.4 Metode de sinteza a derivatilor cu actiune beta-blocanta	22
1.2.4.1. Procedee de sinteza plecand de la fenol	22
1.2.4.2. Procedee de sinteza plecand de la alcool 4-hidroxibenzilic	26
1.2.5. Directii de cercetare privind dezvoltarea si diversificarea structurala a derivatilor cu efect cardiovascular beta-blocant	33
1.2.6. Compatibilitatea medicamentelor beta-blocante cu alte grupe de medicamente utilizate in terapia cardiovasculara	34
Cap. 2. FORME FARMACEUTICE ALE MEDICAMENTELOR BETA-BLOCANTE	35
2.1. Formele farmaceutice ale medicamentelor beta-blocante si biodisponibilitatea acestora	35
2.2. Evaluarea perioadelor de stabilitate a formelor farmaceutice	36
2.2.1. Factori ce influenteaza stabilitatea formelor farmaceutice	36
2.2.2. Metode de evaluare a stabilitatii formelor farmaceutice	38
Cap. 3. BIOECHIVALENTA FORMELOR FARMACEUTICE-MODALITATE DE EVALUARE A EFECTELOR BIOLOGICE	44
3.1. Biodisponibilitatea si bioechivalenta efectelor biologice	44
3.2. Metode de cuantificare a bioechivalentei si aspectele legate de realizarea studiilor de bioechivalenta	47
3.3. Teste de dizolvare <i>in vitro</i> si metode de evaluare	55
3.4. Corelatii <i>in vitro-in vivo</i> si determinarea factorului de similaritate	55
Partea a-II-a: CONTRIBUTII SI CERCETARI ORIGINALE	57
Cap. 4. LOCUL BISOPROLOLULUI IN CLASA MEDICAMENTELOR BETA-BLOCANTE	60
4.1. Bisoprolol. Structura, proprietati fizice, chimice, biologice	60
4.2. Proprietatile farmacologice si mecanismul de actiune a bisoprololului	61
4.3. Forme farmaceutice continand bisoprolol si biodisponibilitatea acestora	62
4.4. Conditii de calitate pentru utilizarea farmaceutica a bisoprololului	62
Cap. 5. SINTEZA BISOPROLOLULUI DIN ALCOOL 4-HIDROXIBENZILIC	64
5.1. REACTIA DE ETERIFICARE A ALCOOLULUI 4-HIDROXIBENZILIC CU 2-ISOPROPOXIETANOL	64
5.1.1. Sintetiza intermediarului 4-[(2-isopropoxietoxi)metil-fenol	64
5.1.2. Elaborarea metodei analitice de determinare a concentratiei alcoolului 4-hidroxibenzilic in solutie de 2-isopropoxietanol	65

5.1.3. Modelarea procesului de eterificare a alcoolului 4-hidroxibenzilic cu 2-isopropoxietanol, in cataliza eterogena, utilizand Amberlyst 15	67
5.1.3.1. Modelarea procesului de eterificare a alcoolului 4-hidroxibenzilic cu 2-isopropoxietanol, in cataliza eterogena, cu Amberlyst 15- faza de initiere	69
5.1.3.2. Modelarea procesului de eterificare a alcoolului 4-hidroxibenzilic cu 2-isopropoxietanol, in cataliza eterogena, cu Amberlyst 15- faza de perfectare	73
5.1.4. Modelarea neuronala a procesului de eterificare a alcoolului 4-hidroxibenzilic cu 2-isopropoxietanol, in cataliza eterogena, utilizand Amberlyst 15	77
5.1.4.1. Modelarea neuronala a procesului de eterificare a alcoolului 4-hidroxibenzilic cu 2-isopropoxietanol, in cataliza eterogena, cu Amberlyst 15- faza de initiere	82
5.1.4.2. Modelarea neuronala a procesului de eterificare a alcoolului 4-hidroxibenzilic cu 2-isopropoxietanol, in cataliza eterogena, cu Amberlyst 15- faza de perfectare	96
5.1.5. Tehnologia de obtinere a 4-[(2-isopropoxietoxi)metil-fenolului, prin reactia de eterificare a alcoolului 4-hidroxibenzilic cu 2-isopropoxietanol, in cataliza eterogena	107
5.2. STUDIUL REACTIEI DE CONDENSARE A INTERMEDIARULUI 4-[(2-ISOPROPOXIETOXI)METIL-FENOL] CU EPICLORHIDRINA	108
5.2.1. Condensarea intermediarului 4-[(2-isopropoxietoxi)metil-fenol] cu epiclorhidrina	108
5.2.2. Elaborarea metodei analitice de determinare a concentratiei epiclorhidrinei	108
5.2.3. Modelarea procesului de condensare a intermediarului 4-[(2-isopropoxietoxi)metil-fenol cu epiclorhidrina	111
5.2.3.1. Modelarea procesului de condensare a intermediarului 4-[(2-isopropoxietoxi)metil-fenol cu epiclorhidrina-in absenta PEG-400	112
5.2.3.2. Modelarea procesului de condensare a intermediarului 4-[(2-isopropoxietoxi)metil-fenol cu epiclorhidrina-in prezenta PEG-400	115
5.2.4. Tehnologia de obtinere a 2-[[4-(isopropoxietoxi)metil]-fenoximetil] oxiranului, prin reactia de condensare a 4-[(2-isopropoxietoxi)metil-fenolului cu epiclorhidrina, in prezenta PEG-400	117
5.3. CONDENSAREA DERIVATULUI EPOXIDIC CU ISOPROPILAMINA SI OBTINEREA BISOPROLOLULUI BAZA	118
5.4. OBTINEREA BISOPROLOLULUI FUMARAT. SEPARAREA SI PURIFICAREA PRODUSULUI OBTINUT	118
5.5. STABILIREA STRUCTURII BISOPROLOLULUI FUMARAT SINTETIZAT	120
5.6. EVALUAREA CARACTERISTICILOR CALITATIVE SI CANTITATIVE PENTRU BISOPROLOLUL FUMARAT SINTETIZAT	128
<i>Cap. 6. FORME DE CONDITIONARE A BISOPROLOLULUI FUMARAT SI STABILITATEA ACESTORA</i>	133
6.1. Studii privind conditionarea bisoprololului fumarat sub forma de comprimate filmate	133
6.1.1. Evaluarea parametrilor reologici pentru pulberile de bisoprolol fumarat utilizate la realizarea comprimatelor filmate	133
6.1.2. Efectul dimensiunilor particulelor si naturii excipientilor asupra vitezei de eliberare a bisoprololului fumarat din comprimate	138
6.1.2.1. Stabilirea dimensiunilor particulelor si a naturii aglutinantului in vederea obtinerii de comprimate de bisoprolol fumarat cu dizolvare conform USP 29	138
6.1.2.2. Modelarea procesului de dizolvare a comprimatelor de bisoprolol fumarat functie de cantitatea de aglutinant	141
6.2. Studii privind caracterizarea comprimatelor filmate de 10 mg bisoprolol fumarat	148
6.2.1. Descrierea comprimatului	148
6.2.2. Identificarea si determinarea continutului de bisoprolol fumarat	148
6.2.3. Identificarea filmului OPADRY® II 85F24286	149
6.2.4. Determinarea substantelor inrudite	149

6.2.5.Dizolvarea comprimatelor de 10 mg bisoprolol fumarat	150
6.2.5.1.Testul de dizolvare efectuat in mediul prevazut de USP29	150
6.2.5.2.Testul de dizolvare efectuat la pH 1.2	154
6.2.5.3.Testul de dizolvare efectuat la pH 4.5	157
6.2.5.4.Testul de dizolvare efectuat la pH 6.8	160
6.2.6.Uniformitatea unitatilor dozate	163
6.2.7.Masa medie	164
6.2.8.Contaminarea microbiana	164
6.3. Evaluarea stabilitatii comprimatelor filmate continand 10 mg bisoprolol fumarat	165
6.3.1. Studiul stabilitatii comprimatelor filmate continand 10 mg bisoprolol fumarat in timp real	166
6.3.2. Studiul stabilitatii comprimatelor filmate continand 10 mg bisoprolol fumarat in conditii izoterme de “imbatranire accelerata”	170
6.3.3.Testarea fotostabilitatii comprimatelor de 10mg bisoprolol fumarat	173
<i>Cap. 7. EVALUAREA BIODISPONIBILITATII SI BIOECHIVALENTEI COMPRIMATELOR FILMATE BISOTENS® 10 MG BISOPROLOL FUMARAT (S.C. ANTIBIOTICE S.A.) VERSUS CONCOR® (Merck KgA) DUPA ADMINISTRARE ORALA LA 12 VOLUNTARI SANATOSI</i>	174
7.1. Protocol de studiu. Rezumat	174
7.2. Testul de dizolvare <i>in vitro</i>	175
7.2.1.Testul de dizolvare efectuat in mediul prevazut de USP29	175
7.2.2.Testul de dizolvare efectuat la pH 1.2	178
7.2.3.Testul de dizolvare efectuat la pH 4.5	181
7.2.4. Testul de dizolvare efectuat la pH 6.8	184
7.3. Elaborarea si validarea metodei de determinare a bisoprololului din probele de plasma umana	187
7.4. Aplicarea metodei bioanalitice in scopul determinarii bisoprololului din probele de plasma umana	194
7.4.1. Date primare si reprezentarea lor grafica	194
7.4.2. Evaluarea statistica a bioechivalentei	205
Anexa	206
Concluzii	259
Bibliografie	262

Rezumatul lucrarii prezinta, intr-o forma succinta, rezultatele originale obtinute si concluziile generale. La redactarea rezumatului, s-au pastrat aceleasi notatii pentru capitole, figuri si tabele utilizate in cadrul tezei.

Introducere

Studiile experimentale efectuate in cadrul tezei de doctorat au abordat problematici de larg interes ale ingineriei chimice, si anume studiul sintezei bisoprololului din alcool 4-hidroxibenzilic, conditionarea substantei sintetizate sub forma de comprimate filmate, precum si studiul biodisponibilitatii si bioechivalentei formelor farmaceutice ce contin bisoprolol fumarat.

Lucrarea este structurata pe doua parti principale, prima parte cuprinde 3 capitole, iar cea de a doua parte contine 4 capitole. Este extinsa pe 269 pagini si contine un numar de 92 tabele, 96 figuri, 40 ecuatii si 160 indicatii bibliografice, dintre care 5 apartin autorului.

Prima parte a tezei de doctorat reda sintetic datele de literatura referitoare la medicamentele cardiovasculare beta-blocante. Astfel, au fost prezentate indicatiile si strategiile de utilizare ale beta-blocantelor, precum si aspecte privind clasificarea, structura chimica, mecanismele de actiune si relatiile structura chimica-actiune biologica in aceasta clasa terapeutica. De asemenea, au fost descrise principalele metode de sinteza a derivatilor beta-blocanti, ce includ procedee de sinteza plecand de la fenol si procedee de sinteza plecand de la alcool 4-hidroxibenzilic, fiecare din cele doua tipuri de metode fiind particularizate pentru bisoprolol.

Contributiile originale privind sinteza si conditionarea bisoprololului se regasesc in partea a doua a tezei de doctorat, capitolele 4-7.

Capitolul 4 prezinta locul bisoprololului in clasa beta-blocantelor, din punct de vedere a structurii, proprietatilor si mecanismului de actiune. De asemenea, au fost prezentate formele farmaceutice ce contin bisoprolol si conditiile de calitate necesare pentru utilizarea farmaceutica a acestuia, prevazute de principalele farmacopei internationale.

Capitolul 5 prezinta sinteza bisoprololului din alcool 4-hidroxibenzilic. Astfel, au fost studiate toate fazele sintezei bisoprololului fumarat, pana la obtinerea produsului final. In scopul cunoasterii exacte a conditiilor optime de reactie ce conduc la un randament maxim in produs util, au fost efectuate modelari statistice si neuronale, pentru principalele etape ale sintezei chimice. Pentru urmarirea gradului de avansare al reactiilor chimice studiate, au fost elaborate metode de analiza, pe fiecare faza de sinteza. Produsul obtinut a fost identificat si caracterizat prin metode spectrale IR, RMN, cromatografie de lichide cuplata cu detectie selectiva de masa (LC-MS).

Capitolul 6 prezinta rezultatele obtinute in urma efectuarii studiilor de conditionare a bisoprololului fumarat sintetizat, sub forma de comprimate filmate. Astfel, au fost studiati parametrii reologici pentru pulberile de bisoprolol fumarat utilizate la realizarea comprimatelor influenta dimensiunilor particulelor si naturii excipientilor asupra vitezei de eliberare a substantei active din comprimate. Pe baza datelor obtinute, s-au stabilit dimensiunile particulelor si aglutinantul optim in vederea obtinerii de comprimate cu dizolvare conform USP 29 si s-a efectuat modelarea procesului de dizolvare a comprimatelor de bisoprolol fumarat functie de cantitatea de aglutinant. Ulterior, au fost efectuate studii in vederea caracterizarii comprimatelor filmate de 10 mg bisoprolol fumarat obtinute si a evaluarii stabilitatii acestora.

Capitolul 7 reda rezultatele studiului de bioechivalenta a comprimatelor filmate de 10 mg bisoprolol fumarat Bisotens® (S.C. Antibiotice S.A.) versus Concor® (Merck) dupa administrare orala la 12 voluntari sanatosi. Pentru determinarea concentratiei plasmatiche a bisoprololului fumarat, a fost elaborata si validata o metoda bazata pe cromatografia de lichide cuplata cu detectia selectiva de masa. In urma aplicarii acestei metode bioanalitice, au fost determinati principaliii parametri farmacocinetici, pe baza carora s-a efectuat evaluarea statistica a bioechivalentei celor doua produse farmaceutice.

Rezultatele cercetarilor proprii din cadrul tezei de doctorat s-au concretizat in elaborarea a 5 lucrari stiintifice publicate in reviste de specialitate cotate ISI.

CONTRIBUTII SI CERCETARI ORIGINALE

Cap. 4. LOCUL BISOPROLOLULUI IN CLASA MEDICAMENTELOR BETA-BLOCANTE

4.1. Bisoprolol. Structura, proprietati fizice, chimice, biologice

In functionarea normala a organismului, inima ocupa un loc fundamental, deoarece ea asigura pomparea sangelui si distribuirea lui prin reteaua de vase si capilare in tot corpul. Medicamentele cardiovasculare actioneaza asupra inimii si a musculaturii sistemului vascular, prin modificarea ritmului si a debitului cardiac, precum si a distributiei sangelui in diverse ramuri ale sistemului circulator.

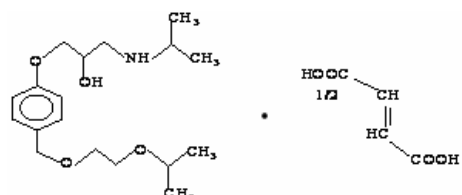
Medicamentele cu actiuni specific cardiovasculare se clasifica in urmatoarele grupe [1]:

- medicamente cardiotonice;
- medicamente aritmice;
- medicamente coronarodilatatoare (antianginoase);
- medicamente antihipertensive cu actiune centrala;
- medicamente antihipertensive cu actiune vasodilatatoare;
- medicamente beta-blocante;
- medicamente anticoagulante;
- medicamente hipolipemiante.

Dintre categoriile mai sus mentionate, un interes deosebit il prezinta medicamentele beta-blocante. Acestea au fost sistematizate in grupa aparte, deoarece ele au actiuni cardiovasculare multiple (antiaritmice, antihipertensive, antianoxice) si se obtin printr-o tehnologie comună.

Un medicament pretios in terapia cardiovasculara beta-blocanta este bisoprololul. Acesta s-a remarcat prin proprietati farmacocinetice deosebite, evidențiate prin numeroase studii clinice, precum absorbtia si distributia rapida in organism, concentratii plasmatiche maxime inregistrate in 2-4 ore, eficacitate terapeutica si siguranta in administrare.

Din punct de vedere chimic, bisoprololul fumarat (2:1) este un derivat de fenoxiaminopropanol, cu urmatoarea structura chimica :



Formula moleculara: C₁₈H₃₁NO₄• 1/2 C₄H₄O₄

Denumire: (±) 1[[α-(2-isopropoxi-ethoxy)-p-tolyl]oxy]-3-(isopropylamino)-2-propanol fumarat.

Se prezinta sub forma unui amestec racemic, responsabil de activitatea beta-blocanta fiind enantiomerul S(-) [95].

Proprietatile fizice ale bisoprololului sunt redate in tabelul 13.

Tabelul 13: *Proprietatile fizice ale bisoprololului*

Masa moleculara	Stare de agregare	Culoare	Solubilitate	pKa	Coeficient de partitie (n-octanol/tampon fosfat, pH=7.4)
325,443	- substanta solida, se prezinta sub forma de pulbere cristalina	alba	-solubil in apa si metanol; -usor solubil in etanol si cloroform	9,5	4,8

In solutii acide, la pH =4, prezinta doua maxime de absorbtie in domeniul UV, si anume absorbtia de la lungimea de unda 225 nm, caracteristica nucleului aromat, respectiv 273 nm, caracteristica catenei laterale propanolice (figura 5).

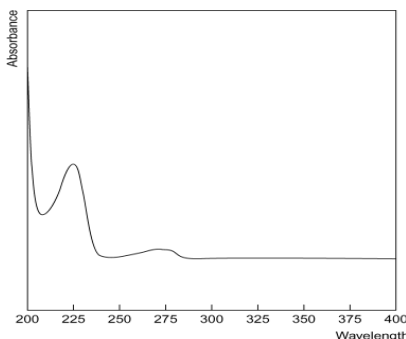


Figura 5 : *Spectrul de absorbtie al bisoprololului*

Proprietatile biologice ale bisoprololului fumarat sunt:

a) beta1-selectivitate

Comparativ cu alti agenti beta1-blocanti (atenolol, metoprolol, betaxolol), bisoprololul s-a dovedit a fi cel mai beta1-selectiv agent, fapt demonstrat prin studii *in vitro* si *in vivo* [96].

b) activitate simpatomimetica intrinseca

Bisoprololul nu manifesta activitate simpatomimetica intrinseca.

c) efect stabilizator de membrana

Bisoprololul nu manifesta efect stabilizator de membrana intr-un domeniu relevant pentru actiunea beta-blocanta.

Indicatii terapeutice ale bisoprololului fumarat [97]:

- tratamentul anginei pectorale, a ischemiei miocardice silentioase (intrucat scade numarul, durata si intensitatea atacurilor anginoase, in special pe cele matinale si nocturne), precum si in tratamentul infarctului miocardic;

- tratamentul hipertensiunii arteriale (scade eficient valorile tensiunii arteriale sistolice si diastolice, respectand ritmul circadian);

- tratamentul aritmilor atriale si ventriculare (prin efectul sau antiaritmic).

Contraindicatii:

-insuficienta cardiaca decompensata;

-bloc atrioventricular de gradul II sau III;

-hiperreactivitate bronsica (de exemplu bronhopneumopatie cronica obstructiva, astm bronsic);

- bradicardie < 50/min;

- hipotensiune marcata;

- stadii avansate ale tulburarilor circulatorii periferice.

4.2. Proprietatile farmacologice si mecanismul de actiune a bisoprololului

a) Proprietati farmacodinamice

Bisoprolol este un beta-blocant cu liposolubilitate/hidrosolubilitate medie. Bisoprolol este selectiv fata de receptorul beta 1-adrenergic (beta-1 cardio-selectiv), fara a dezvolta activitate simpatomimetica intrinseca si fara a avea efect semnificativ stabilizator de membrana. In functie de tonusul simpanic, bisoprolol scade frecventa cardiaca si contractilitatea cordului, conducerea atrio-ventriculara si activitatea reninei plasmatice [98]. Datorita efectului inhibitor asupra receptorilor beta 1-adrenergici, bisoprolol poate determina o crestere usoara a tonusului muscularii netede. Datorita timpului plasmatic de injumatatire prin eliminare de 10-12 ore, actiunea bisoprololului se menține timp de 24 ore.

b) Proprietati farmacocinetice

Dupa administrarea orala, bisoprololul se absoarbe in proportie de peste 90%. Ingestia de alimente nu influenteaza rata de absorbtie. La primul pasaj hepatic, o doza maxima de 10% este inactivata prin metabolismare [99].

Bisoprololul se leaga in proportie de pana la 30% de proteinele plasmatice. Fiind o substanta doar moderat liposolubila, bisoprololul are un volum mediu aparent de distributie la o legare in proportie mica de proteinele plasmatice. Bisoprololul este indepartat din plasma pe doua cai la fel de eficiente de eliminare (50% este metabolizat in ficat la metaboliti inactivi, restul de 50% este excretat renal sub forma nemodificata). Bisoprololul are un timp de injumatatire plasmatica prin eliminare de 10-12 ore. Concentratia plasmatica maxima se atinge in 1-3 ore de la administrare, atingand o valoare de 50 ng/ml, la administrarea, in priza unica, a unei doze de 10 mg.

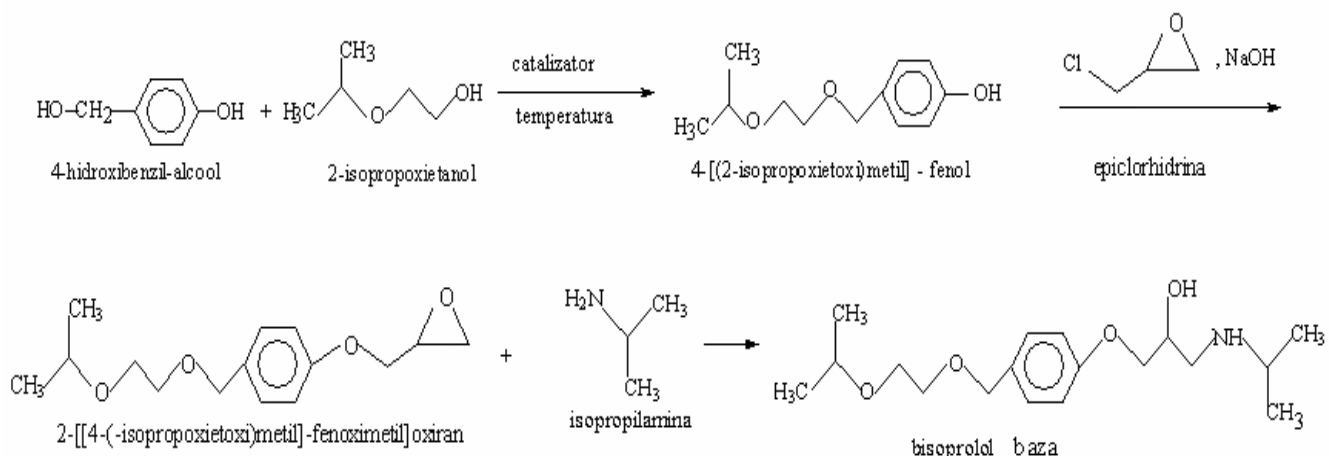
4.3. Forme farmaceutice continand bisoprolol

Bisoprolol fumarat se regaseste in urmatoarele forme farmaceutice [101]:

- Bisoprolol fumarat 5 mg comprimate filmate
- Bisoprolol fumarat 10 mg comprimate filmate
- Bisoprolol fumarat 2.5, 5, respectiv 10 mg + 6.25 mg hidroclorotiazida comprimate filmate .

Cap. 5. STUDIUL SINTEZEI BISOPROLOLULUI FUMARAT DIN ALCOOL 4-HIDROXIBENZILIC

Din analiza datelor de literatura referitoare la sinteza medicamentelor beta-blocante si, in particular, a bisoprololului, s-a optat pentru metoda de obtinere a acestuia plecand de la alcool 4-hidroxibenzilic si 2-isopropoxietanol. Schema globala a reactiilor chimice ce descriu aceasta metoda este:

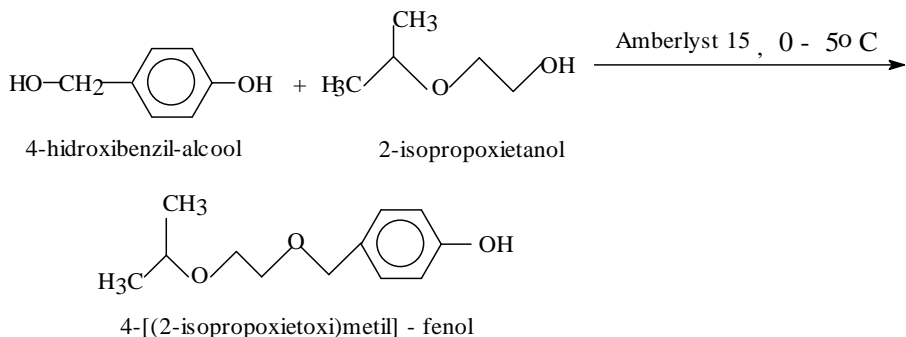


Sinteza bisoprololului din alcool 4-hidroxibenzilic si 2-isopropoxietanol presupune parcurerea urmatoarelor faze:

5.1. REACTIA DE ETERIFICARE A ALCOOLULUI 4-HIDROXIBENZILIC CU 2-ISOPROPOXIEETANOL

5.1.1. Sinteza intermediarului 4-[(2-isopropoxietoxi)metyl]-fenol

Intermediarul 4-[(2-isopropoxietoxi)metyl]-fenol se obtine prin reactia de eterificare a alcoolului 4-hidroxibenzilic cu 2-isopropoxietanol, in cataliza acida eterogena, in prezenta de Amberlyst 15, conform reactiei chimice:



Aceasta reactie de eterificare poate conduce, pe langa produsul de reactie dorit, si la produse de reactie secundare. Din acest motiv, cunoasterea exacta a parametrilor de reactie a fost imperios necesara. In acest scop, s-a intreprins un studiu de modelare matematica, prin metoda planificarii experimentelor si utilizarii ecuatiilor de regresie.

Urmarirea gradului de avansare a reactiei de eterificare s-a realizat prin dozarea cantitativa a alcoolului 4-hidroxibenzilic, printr-o metoda cromatografica, ce a fost dezvoltata in cadrul cercetarilor intreprinse in prezenta teza si ale carei rezultate sunt prezentate mai jos.

5.1.2. Elaborarea metodei analitice de determinare a concentratiei alcoolului 4-hidroxibenzilic in solutie de 2-isopropoxietanol

Avansarea procesului chimic s-a urmarit prin determinarea concentratiei alcoolului 4-hidroxibenzilic in masa de reactie. Datele de literatura indica diverse posibilitati de dozare a acestei substante, HPLC sau GC-MS, in diverse conditii [104–110]. Pentru determinarea concentratiei alcoolului 4-hidroxibenzilic in solutie de 2-isopropoxietanol, s-a elaborat si validat o metoda HPLC, ale carei rezultate au constituit subiectul unui articol stiintific – *in press*, cu titlul “A new liquid chromatographic method for determination of 4-hydroxybenzyl alcohol in 2-isopropoxy ethanol solution” [111].

Parametrii operationali ai acestei metode sunt :

Coloana cromatografica:	Chromolith RP-18e (4.6*100 mm) (Merck)
Temperatura coloanei :	35°C
Faza mobila:	acid acetic 0,2 % : acetonitril = 60 : 40 (v/v)
Debit:	1,2 ml/min
Detectie:	UV, la lungimea de unda 225 nm
Volum de injectie:	75 µl
Tip de injectie:	Automata
Temperatura autosampler	10°C

5.1.3. Modelarea procesului de eterificare a alcoolului 4-hidroxibenzilic cu 2-isopropoxietanol, in cataliza eterogena, utilizand Amberlyst 15

Procesul de eterificare a alcoolului 4-hidroxibenzilic cu 2-isopropoxietanol, in cataliza eterogena, utilizand Amberlyst 15, s-a realizat in doua etape, distincte din punct de vedere termic:

- etapa 1 – la temperatura de 0-5°C;
- etapa 2 – la temperatura de 15-20°C.

Pe aceste considerente, modelarea s-a realizat pentru fiecare etapa distinct. Pentru aceasta, a fost necesara realizarea unui studiu preliminar, in urma caruia s-au stabilit parametrii de baza, limitele lor de variație, precum și influențele acestora asupra performanțelor reacției de eterificare. Parametrii ce influențează decisiv randamentele în eter sunt:

- Concentratia reactantilor, masurata prin raport molar alcool 4-hidroxibenzilic/ 2- isopropoxietanol
- Timpul de reacție, ore
- Temperatura, °C.

Dependența randamentului de reacție funcție de timp, la raport molar alcool 4-hidroxibenzilic/ 2- isopropoxietanol =1:1, 1:6 respectiv 1:13,5 este redată în figurile 7,8 și 9, cu precizarea că, în toate cazurile, gradul de avansare a procesului a fost urmarit prin dozarea alcoolului 4-hidroxibenzilic, utilizând metoda descrisă în paragraful 5.1.2.

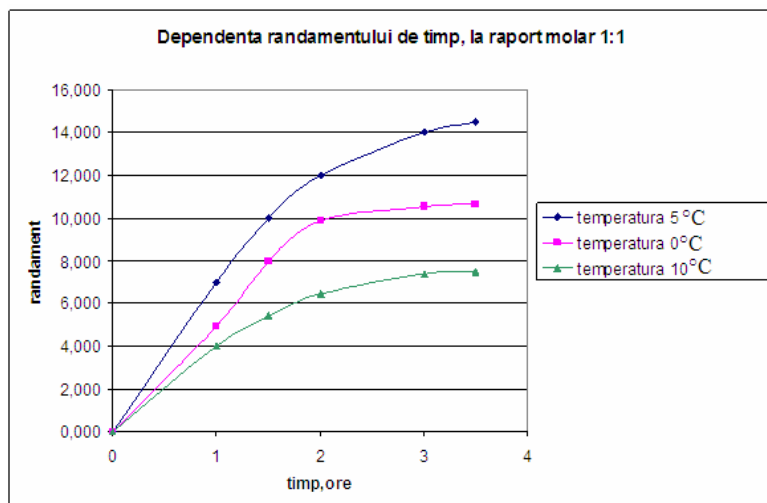


Figura 7: *Dependența randament de reacție-timp, la raport molar 1:1, la diverse temperaturi*

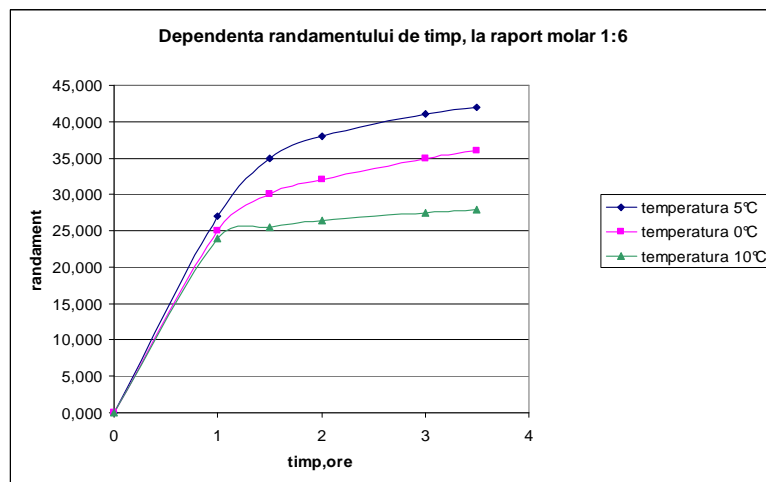


Figura 8: **Dependenta randament de reactie-timp, la raport molar 1:6, la diverse temperaturi**

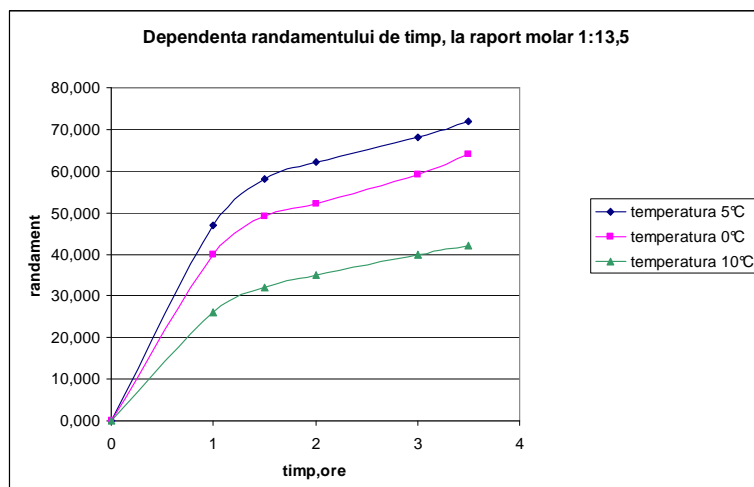


Figura 9: **Dependenta randament de reactie-timp, la raport molar 1:13,5, la diverse temperaturi**

Analiza datelor experimentale obtinute evidenteaza faptul ca randamentul in produs util creste odata cu cresterea raportului molar alcool 4-hidroxibenzilic/2-isopropoxietanol. De asemenea, se remarcă faptul că, la temperaturi de peste 5°C, este favorizata formarea produsilor secundari, ceea ce duce la o scadere a randamentului in produs util, in toate cele trei cazuri studiate.

5.1.3.1 Modelarea procesului de eterificare a alcoolului 4-hidroxibenzilic cu 2-isopropoxietanol, in cataliza eterogenă, cu Amberlyst 15 - faza de initiere

Urmarirea gradului de avansare a reactiei de eterificare s-a efectuat prin dozarea alcoolului 4-hidroxibenzilic, utilizand metoda descrisa in paragraful 5.1.2.

Randamentul reactiei de eterificare, in faza de initiere, depinde de urmatorii parametri independenti:

- raport molar 2-isopropoxietanol /alcool 4-hidroxibenzilic;
- timp de reactie;
- temperatura de reactie.

Pentru realizarea modelarii reactiei, s-a ales ca program de experimentare un program central compus rotabil [112] si s-a propus ca model pentru estimarea randamentului o ecuatie de regresie de gradul 2, de forma:

$$y = b_0 + b_1 x_1 + b_2 x_2 + b_3 x_3 + b_{11} x_1^2 + b_{22} x_2^2 + b_{33} x_3^2 + b_{12} x_1 x_2 + b_{13} x_1 x_3 + b_{23} x_2 x_3 \quad (1)$$

In tabelele urmatoare, sunt prezentate valorile reale si codificate, precum si intreavalele de variație ale parametrilor determinanți pentru reacție (tabelul 19) și, respectiv, programul de desfășurare al experimentelor și rezultatele obținute (tabelul 20).

Tabelul 19. *Nivelele variabilelor independente*

Nr. crt.	Parametri determinanți pentru reacție	Codificarea parametrilor	Nivelul de codificare			Interval de variație
			-1	0	+1	
1.	Raportul molar 2-isopropoxietanol/ alcool 4-hidroxibenzilic	x_1	9	12	15	3
2.	Timpul de reacție, ore	x_2	0,5	2	3,5	1,5
3.	Temperatura de reacție, °C	x_3	0	5	10	5

Tabelul 20. *Matrice de experimentare (program central compus rotabil) și randamentele obținute*

Nr. crt.	x_1	x_2	x_3	x_1^2	x_2^2	x_3^2	$x_1 x_2$	$x_1 x_3$	$x_2 x_3$	$y_{exp.}$	$y_{calc.}$
1.	-1	-1	-1	+1	+1	+1	+1	+1	+1	24,40	24,48
2.	+1	-1	-1	+1	+1	+1	-1	-1	+1	40,20	40,61
3.	-1	+1	-1	+1	+1	+1	-1	+1	-1	36,10	35,67
4.	+1	+1	-1	+1	+1	+1	+1	-1	-1	64,70	64,75
5.	-1	-1	+1	+1	+1	+1	+1	-1	-1	16,40	16,75
6.	+1	-1	+1	+1	+1	+1	-1	+1	-1	29,70	30,28
7.	-1	+1	+1	+1	+1	+1	-1	-1	+1	27,70	27,69
8.	+1	+1	+1	+1	+1	+1	+1	+1	+1	53,60	53,92
9.	-1,682	0	0	2,828	0	0	0	0	0	18,40	18,44
10.	+1,682	0	0	2,828	0	0	0	0	0	54,70	54,07
11.	0	-1,682	0	0	2,828	0	0	0	0	19,70	19,04
12.	0	+1,682	0	0	2,828	0	0	0	0	48,50	48,55
13.	0	0	-1,682	0	0	2,828	0	0	0	53,80	53,76
14.	0	0	+1,682	0	0	2,828	0	0	0	38,70	38,15
15.	0	0	0	0	0	0	0	0	0	70,90	69,67
16.	0	0	0	0	0	0	0	0	0	68,80	69,67
17.	0	0	0	0	0	0	0	0	0	69,40	69,67
18.	0	0	0	0	0	0	0	0	0	68,70	69,67
19.	0	0	0	0	0	0	0	0	0	69,90	69,67
20.	0	0	0	0	0	0	0	0	0	70,20	69,67

Utilizand datele experimentale obținute, s-au determinat, conform procedurii uzuale [113-114], coeficientii ecuației de regresie, rezultând urmatoarea ecuație de regresie pentru randament:

$$y = 69,67 + 10,59x_1 + 8,77x_2 - 4,64x_3 - 11,81x_1^2 - 12,68x_2^2 - 8,38x_3^2 + 3,175x_1x_2 - 0,65x_1x_3 - 0,125x_2x_3 \quad (2)$$

Analizând valorile coeficientilor, se constată că raportul molar 2-isopropoxietanol/ alcool 4-hidroxibenzilic și timpul de reacție influențează favorabil reacția, în timp ce temperatura influențează negativ randamentul în produsul dorit, favorizând formarea produsilor secundari de reacție.

Pentru a determina valoarea maximă a funcției, se apelează la condițiile necesare de extrem, obținându-se un sistem de ecuații liniar și neomogen în necunoscutele x_1 , x_2 și x_3 :

$$\left\{ \begin{array}{l} (3) \quad \partial y / \partial x_1 = 10,59 - 23,62x_1 + 3,175x_2 - 0,65x_3 = 0 \\ (4) \quad \partial y / \partial x_2 = 8,77 - 25,36x_2 + 3,175x_1 - 0,125x_3 = 0 \\ (5) \quad \partial y / \partial x_3 = -4,64 - 16,76x_3 - 0,65x_1 - 0,125x_2 = 0 \end{array} \right.$$

Prin rezolvarea sistemului, se obtin valorile:

$$\left\{ \begin{array}{l} x_1^0 = 0,51171 \\ x_2^0 = 0,41017 \\ x_3^0 = -0,298 \end{array} \right.$$

care, dupa decodificare, conduc la urmatoarele valori ale parametrilor luati in discutie:

$$\begin{aligned} x_1 &= 13,535 \text{ mol 2-isopropoxietanol / mol alcool 4-hidroxibenzilic;} \\ x_2 &= 156,9 \text{ minute;} \\ x_3 &= 3,5^\circ\text{C.} \end{aligned}$$

Valoarea randamentului maxim obtinut cu aceste valori este $y_{max} = y(x_1, x_2, x_3) = 74,88\%$.

Analiza de dispersie a modelului ales a condus la urmatoarele rezultate:

Tabelul 21. *Analiza de dispersie a experimentului compus central rotabil*

Sursa de variație	Suma de patrate	Grade de libertate	Media de patrate
Termenii de ordin I	2877,012	3	959
Termenii de ordin II	-54,643	6	-9,107
Adecvanta modelului	5,6814	5	1,136
Erori de reproductibilitate	3,3125	5	0,662
Total	2831,36	19	-

Din tabelul 21, se observa ca termenii de ordinul I au influenta mult mai mare decat cei de ordinul II. Contributia erorilor reziduale si de reproductibilitate in suma de patrate este extrem de redusa (sub 0,2%), ceea ce indica o adecvanta foarte buna a modelului.

In figurile 10, 11 si 12, se prezinta grafic (utilizand o sectiune din programul MATLAB) raspunsurile date de ecuatia de regresie pentru $x_1=0,51171$ (valoarea optima pentru parametrul raport molar 2-isopropoxietanol / alcool 4-hidroxibenzilic), $x_2=156,9$ (valoarea optima pentru parametrul timp de reactie) si $x_3=3,5$ (valoarea optima pentru parametrul temperatura).

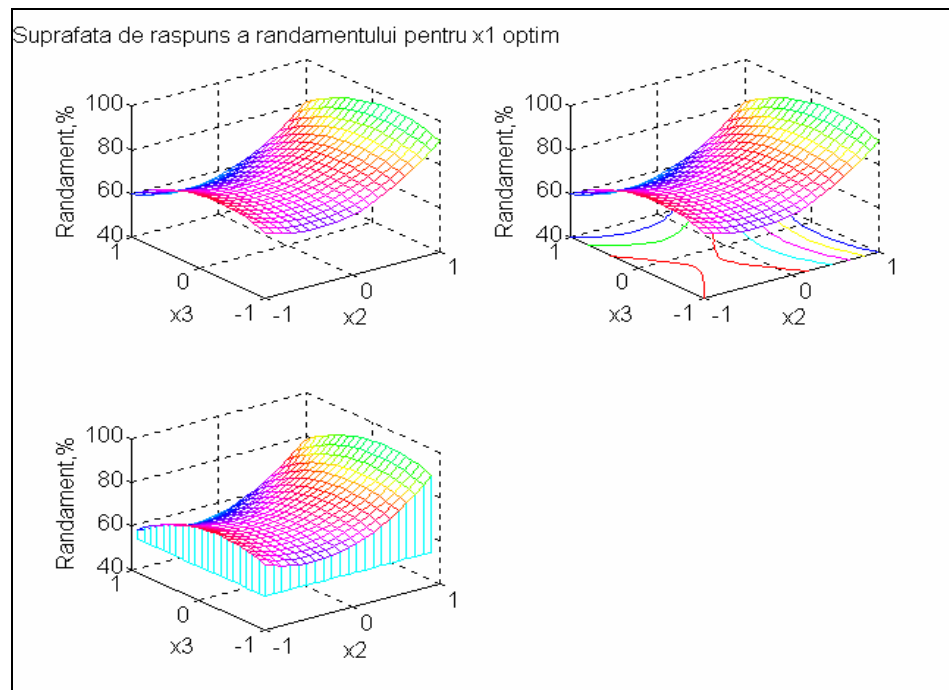


Figura 10: **Reprezentarea grafica a ecuatiei de regresie la raportul molar 2-isopropoxietanol / alcool 4-hidroxibenzilic optim**

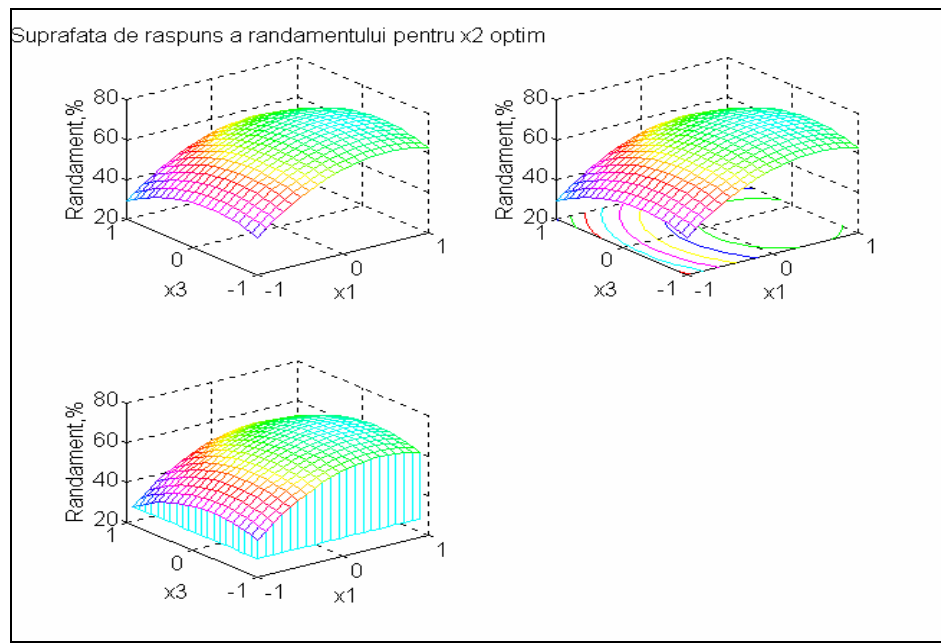


Figura 11: **Reprezentarea grafica a ecuatiei de regresie la timpul de reactie optim**

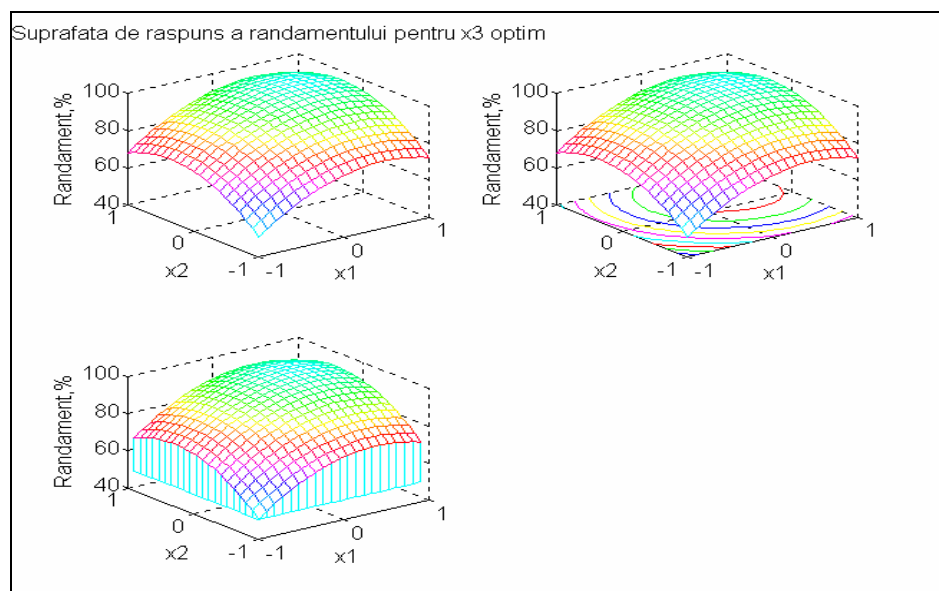


Figura 12: **Reprezentarea grafica a ecuatiei de regresie la temperatura de reactie optima**

5.1.3.2. Modelarea procesului de eterificare a alcoolului 4-hidroxibenzilic cu 2-isopropoxietanol, in cataliza eterogena, cu Amberlyst 15 - faza de perfectare

Reactia de eterificare a alcoolului 4-hidroxibenzilic cu 2-isopropoxietanol, catalizata de Amberlyst 15, catalizator solid ce contine grupari sulfonice, se desfosoara in mai multe etape: difuzia 2-isopropoxietanolului (mediu de reactie) catre suprafata catalizatorului, difuzia alcoolului 4-hidroxibenzilic catre suprafata catalizatorului, activarea alcoolului 4-hidroxibenzilic sub forma de alcool protonat, reactia chimica intre cei doi reactanti, cu obtinerea produsului de reactie, desorbtia acestuia de pe suprafata catalizatorului si difuzia produsului de reactie in faza lichida. Etapa desorbtiei produsului de reactie de pe suprafata catalizatorului este favorizata de cresterea temperaturii, dar acest parametru influenteaza si obtinerea produsilor secundari de reactie. Din acest motiv, am realizat modelarea acestei faze, pentru a stabili exact acele valori ale parametrilor de reactie care sa defavorizeze formarea produsilor secundari (de ex., dimerii obtinuti prin reactiile de autocondensare a celor doi alcooli, 4-hidroxi-benzaldehida etc).

Experimentele preliminarii au indicat dependenta randamentului reactiei, in faza de perfectare, de urmatorii parametri independenti: timp de reactie si temperatura de reactie, raportul molar dintre cei doi reactanti fiind stabilit in prima etapa.

S-a ales ca program de experimentare un program central compus rotabil si s-a propus ca model pentru estimarea randamentului o ecuatie de regresie de gradul 2, de forma:

$$y = b_0 + b_1 x_1 + b_2 x_2 + b_{11} x_1^2 + b_{22} x_2^2 + b_{12} x_1 x_2 \quad (7)$$

Si in acest caz, s-au stabilit valorile reale si codificate ale variabilelor (tabelul 22) si respectiv programul de desfasurare al experimentelor (tabelul 23) .

Tabelul 22. *Nivelele variabilelor independente*

Nr. crt.	Parametri determinanti pentru reactie	Codificarea parametrilor	Nivelul de codificare			Interval de variație
			-1	0	+1	
1.	Timpul de reactie, ore	x_1	5	10	15	5
2.	Temperatura de reactie, °C	x_2	15	20	25	5

Tabelul 23. *Matrice de experimentare (program central compus rotabil) si randamentele obtinute*

Nr.crt.	x_0	x_1	x_2	x_1^2	x_2^2	$x_1 x_2$	$y_{exp.}$	$y_{calc.}$
1.	+1	-1	-1	1	1	+1	88,7	88,47
2.	+1	+1	-1	1	1	-1	95,6	96,9
3.	+1	-1	+1	1	1	-1	89,3	87,67
4.	+1	+1	+1	1	1	+1	92,4	92,3
5.	+1	-1,414	0	2	0	0	83,2	85,57
6.	+1	+1,414	0	2	0	0	94,6	94,80
7.	+1	0	-1,414	0	2	0	94,1	94,39
8.	+1	0	+1,414	0	2	0	88,3	90,57
9.	+1	0	0	0	0	0	93,8	95,06
10.	+1	0	0	0	0	0	94,4	95,06
11.	+1	0	0	0	0	0	93,6	95,06
12.	+1	0	0	0	0	0	94,8	95,06
13.	+1	0	0	0	0	0	94,2	95,06

Efectuand calculele, se ajunge la urmatoarea ecuatie de regresie pentru randament:

$$y = 95,06 + 3,265x_1 - 1,35x_2 - 2,437x_1^2 - 1,287x_2^2 - 0,95x_1 x_2 \quad (8)$$

Pentru a determina valoarea maxima a functiei, se apeleaza la conditiile necesare de extrem, obtinandu-se un sistem liniar si neomogen in necunoscutele x_1 si x_2 :

$$\begin{cases} (9) \quad \partial y / \partial x_1 = 3,265 - 2 \times 2,437x_1 - 0,95x_2 = 0 \\ (10) \quad \partial y / \partial x_2 = -1,35 - 2 \times 1,287x_2 - 0,95x_1 = 0 \end{cases}$$

Prin rezolvarea sistemului, se obtin valorile:

$$\begin{cases} x_1^0 = 0,832; \\ x_2^0 = -0,831 \end{cases}$$

care, dupa decodificare, conduc la urmatoarele valori ale parametrilor luati in discutie:

$x_1 = 14$ ore

$x_2 = 16^\circ\text{C}$.

Valoarea randamentului maxim obtinut cu aceste valori este $y_{\max} = y(x_1, x_2) = 96,98\%$.

In figurile 13 si 14, se prezinta grafic (utilizand o sectiune din programul MATLAB) raspunsurile date de ecuatie de regresie pentru $x_1=0,832$ (valoarea optima pentru parametrul timp de reactie) si $x_2= -0,831$ (valoarea optima pentru parametrul temperatura).

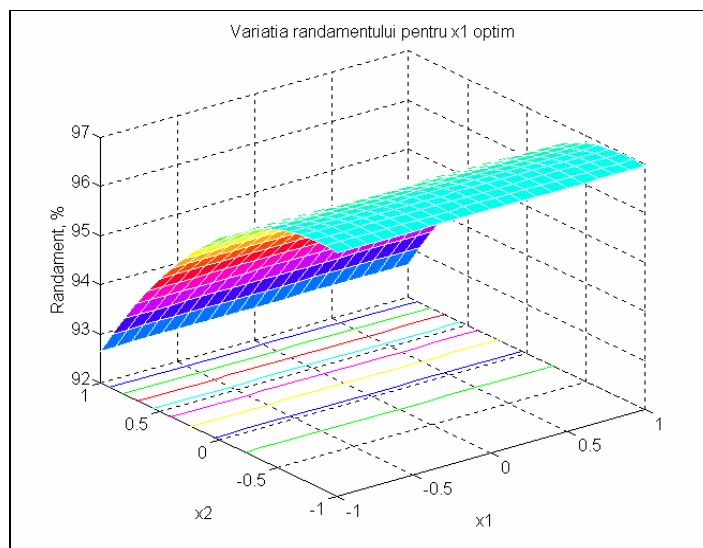


Figura 13: **Reprezentarea grafica a ecuatiei de regresie la timpul de reactie optim**

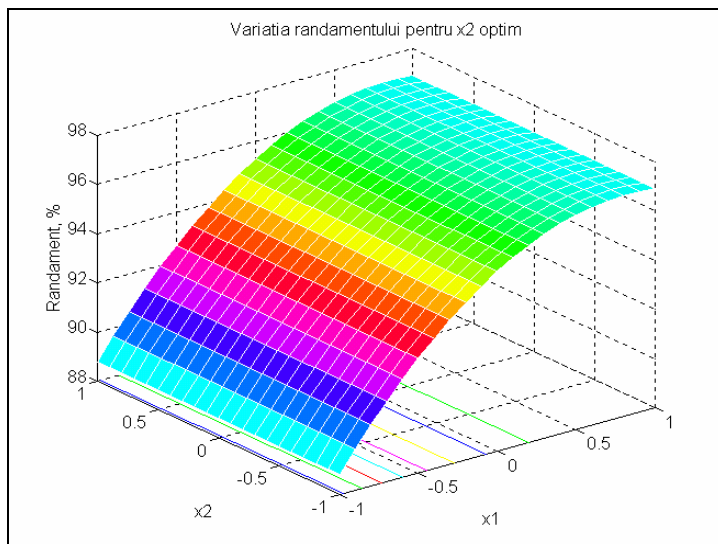


Figura 14: *Reprezentarea grafica a ecuatiei de regresie la temperatura de reactie optima*

In concluzie, pentru o valoare maxima a randamentului de reactie de 74,88%, in faza de initiere, s-au obtinut urmatoarele valori ale parametrilor independenti: raport molar 2-isopropoxietanol /alcool 4-hidroxibenzilic=13,535, timp de reactie = 156,9 minute si temperatura de reactie = 3,5 °C . In faza de perfectare a reactiei, pentru o valoare maxima a randamentului de 96,985%, s-au obtinut urmatoarele valori ale parametrilor independenti: timp de reactie = 14 ore si temperatura de reactie=16°C. Timpul total al reactiei chimice de eterificare reprezinta suma timpilor celor doua etape distincte, respectiv 1116,9 minute.

Rezultatele modelarii reactiei de obtinere a 4-[(2-isopropoxietoxi)methyl-fenolului, prin reactia de eterificare a alcoolului 4-hidroxibenzilic cu 2-isopropoxietanol, in cataliza eterogena, cu catalizator Amberlyst 15, au fost publicate intr-un articol stiintific cu titlul "*Mathematical Modeling of 4-[(2-isopropoxyethoxy)-methyl]phenol synthesis*" [115].

5.1.4. Modelarea neuronala a procesului de eterificare a alcoolului 4-hidroxibenzilic cu 2-isopropoxietanol, in cataliza eterogena, utilizand Amberlyst 15

Prin modelarea neuronala directa s-a urmarit simularea reactiei de eterificare a alcoolului 4-hidroxibenzilic cu 2-isopropoxietanol pentru cunoasterea cat mai completa a evolutiei randamentului in produs, in interiorul si in exteriorul domeniului investigat experimental. In continuare, s-a realizat modelarea neuronală inversă pentru valori impuse ale randamentului, cand reteaua neuronală furnizeaza conditiile de operare necesare. In acest mod, utilizand si rezultatele modelarii directe, s-a dorit obtinerea conditiilor de reactie necesare pentru obtinerea randamentului optim al procesului de sinteza studiat.

Similar modelarii statistice, si modelarea neuronală a reactiei de eterificare a alcoolului 4-hidroxibenzilic cu 2-isopropoxietanol, in cataliza eterogena, cu Amberlyst 15, s-a efectuat distinct, pentru fiecare din cele doua etape, initiere si perfectare.

5.1.4.1 Modelarea neuronală a procesului de eterificare a alcoolului 4-hidroxibenzilic cu 2-isopropoxietanol, in cataliza eterogena, cu Amberlyst 15 - faza de initiere

Modelarea neuronală directă

Dezvoltarea modelelor neuronale s-a realizat utilizand 342 seturi de date experimentale. Dintre acestea, 90% au fost folosite la antrenarea retelei si 10% au fost pastrate pentru faza de validare, constituind datele de verificare, nevazute, de modelul neuronal.

Pentru studiul reactiei in faza de initiere, intrarile retelei neuronale sunt: raportul molar 2-isopropoxietanol/ alcool 4-hidroxibenzilic, timpul de reactie si temperatura. Iesirea este reprezentata de randamentul in produs. Astfel, *RNA* are trei marimi de intrare si o singura variabila de raspuns. Cea mai comună structura de retea neuronala in investigatiile specifice ingineriei este de tip perceptron multistrat (*MLP*) [116].

Modelul optim s-a stabilit prin metoda incercarilor succesive, retinandu-se topologia pentru care eroarea de predictie este mai mica sau egala cu cea admisibila. Pentru toate straturile, s-au folosit functii de transfer de tip tangenta hiperbolica axon [120]:

$$f = \frac{1 - e^{-2x}}{1 + e^{-2x}} \quad (20)$$

Algoritmul de invatare cu cele mai bune rezultate pentru tipul de problema abordat este regula *Bar Delta Bar*. Antrenarea s-a efectuat in 10000 epoci. Precizia impusa a fost egala cu 0,000001.

Tabelul 25 contine diferite topologii ale retelelor neuronale de tip *feed-forward* obtinute prin antrenare si performantele acestora: *MSE* (*Mean Square Error*, eroarea medie patratica), *r* (coeficientul de corelatie liniara dintre iesirea experimentală si cea furnizata de retea) si *MAE* (eroarea medie absoluta). Structura retelei *MLP* (perceptron multistrat) este definita de numarul de neuroni din stratul de intrare, corespunzator celor trei variabile de intrare, stratul sau straturile intermediare si numarul de neuroni ascunsi si de numarul de neuroni din stratul de iesire, corespunzator variabilelor de iesire.

Tabelul 25: *Structura retelei MLP*

Performanta	MLP(3:3:1)	MLP(3:4:1)	MLP(3:5:1)
Eroarea medie patratica, <i>MSE</i>	1,09162769	0,74108875	0,75537184
Eroarea medie absoluta, <i>MAE</i>	0,764581	0,674335	0,594155
Coeficientul de corelatie liniara, <i>r</i>	0,996535	0,997622	0,997624

Pe baza performantelor prezentate in tabelul 25, s-a stabilit ca modelul retelei neuronale are un strat ascuns cu 5 neuroni si poate fi redat prin codul *MLP (3:5:1)*. Acest model este relativ simplu si prezinta performante bune la antrenare.

Cu modelul neuronal *MLP(3:5:1)* s-au obtinut predictii satisfacatoare fata de datele de antrenare. Eroarea relativa medie procentuala de 1,00466 % s-a calculat cu relatia:

$$e\% = \frac{y_{\text{exp}} - y_{\text{RNA}}}{y_{\text{exp}}} \cdot 100 \quad (21)$$

unde y_{exp} este randamentul experimental al reactiei si y_{RNA} este randamentul prognozat al reactiei chimice.

In figura 17, se prezinta datele experimentale versus datele estimate de *RNA*. Se observa o concordanta foarte buna.

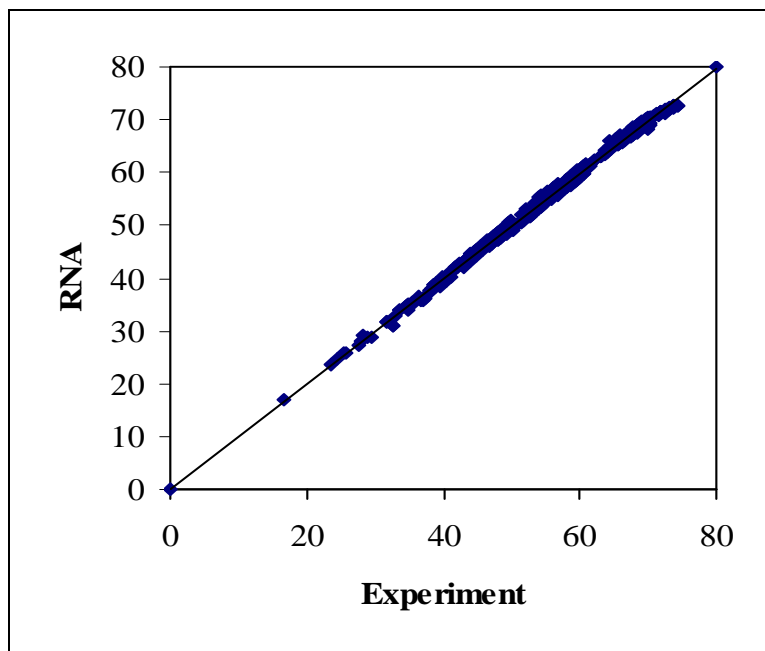


Figura 17: *Randamentul experimental si predictiile obtinute cu modelul MLP (3:5:1) in faza de antrenare*

Modelarea neuronală directă furnizează rețea (grupul de formule) care descrie dependențele între datele experimentale care definesc procesul investigat. Apoi, modelul neuronal elaborat este aplicat, pentru câteva seturi de date experimentale, în scopul generării răspunsurilor necesare. Pentru validare, au fost utilizate date noi care nu au fost folosite în fază de antrenare a procesului. În cazul studiat, rețea MLP(3:5:1) a primit date de intrare neutrălități în procesul de antrenare și a generat valorile răspuns. Testarea modelului neuronal s-a efectuat pe 34 date experimentale noi, nefolosite la antrenare. Rezultatele obținute sunt prezentate în tabelul 26 și figura 18.

Tabelul 26. *Datele experimentale, predictiile fazei de validare și eroarea relativă*

X₁	X₂	X₃	Y	Y_{Output}	e%
10	1,5	8	37,71	37,61	0,277475
10	1,5	10	29,7	29,55	0,511657
12	2	0	51,68	52,77	2,106974
11	2	2	54,96	54,19	1,409753
11	2	4	55,56	54,68	1,580348
11	2	5	54,85	54,17	1,243257
11	2	6	53,47	52,56	1,694359
11	2	8	48,71	47,91	1,644865
11	2	10	41,26	41,23	0,063603
12	2	0	59,93	60,74	1,348115
12	2	2	63,19	63,01	0,277043
12	2	4	63,77	64,28	0,798076
12	2	5	63,06	64,39	2,111003
12	2	6	61,67	63,18	2,445108
12	2	8	56,89	57,11	0,392212
12	2	10	49,43	49,47	0,08317
13	2,5	0	65,36	65,02	0,527274
13	2,5	2	68,61	68,74	0,186967
13	2,5	4	69,17	69,43	0,374814

13	2,5	5	68,45	69,07	0,901338
13	2,5	6	67,06	67,79	1,090499
13	2,5	8	62,26	62,07	0,303
12	2,5	10	54,78	54,80	0,035097
13	2,5	0	67,97	67,27	1,031037
13	2,5	2	71,2	71,02	0,246632
13	2,5	4	71,75	71,39	0,495543
13	2,5	5	71,02	70,99	0,044837
13	2,5	6	69,62	69,91	0,419102
13	2,5	8	64,81	64,87	0,098222
13	2,5	10	57,31	57,77	0,804876
13	2,5	0	67,77	67,10	0,987417
13	2,5	2	70,98	70,86	0,166859
13	2,5	4	71,52	71,25	0,373114
13	2,5	5	70,78	70,84	0,089633
13	2,5	6	69,37	69,74	0,537354
13	2,5	8	64,54	64,61	0,108
13	2,5	10	57,02	57,43	0,726515
12	2,5	0	64,7	64,44	0,40857
13	2,5	2	67,95	68,04	0,135922
13	2,5	4	68,46	68,74	0,413226
13	2,5	5	67,72	68,37	0,956467
13	2,5	6	66,3	66,99	1,045446
13	2,5	8	61,45	61,07	0,618898
				E%medie=	0,723574

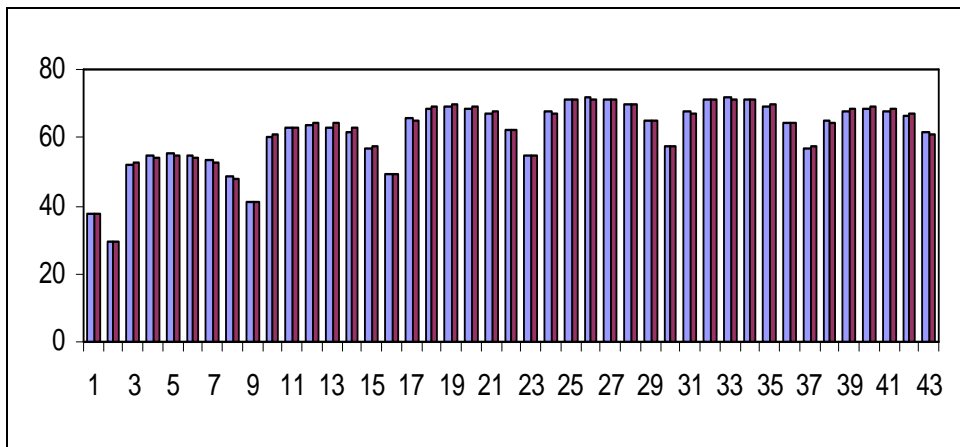


Figura 18: *Randamentul experimental si predictiile obtinute cu modelul MLP(3:5:1) in faza de validare*

Se poate observa o concordanță aproape perfectă între datele experimentale și cele obținute cu rețeaua MLP(3:5:1).

Rezultatele bune obținute în etapa de validare permit utilizarea modelului neuronal pentru a efectua predicții corespunzătoare unor condiții de operare neexperimentate. În acest scop, s-au considerat valori ale variabilelor independente în jurul optimului posibil de 75%, pentru randamentul în produs. Rezultatele obținute se prezintă în figurile 19-21.

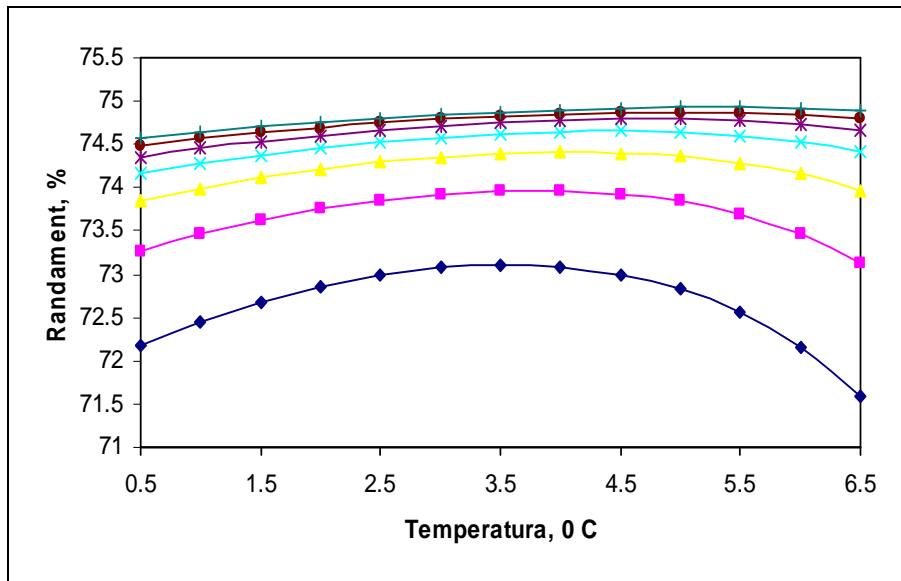


Figura 19: Influenta temperaturii asupra randamentului la o durata de reactie de 140 min si raportul molar de: 13,5 - albastru, 14 - cian, 14,5 - galben, 15 - bleu, 15,5- grena, 16- maro, 16,5-verde

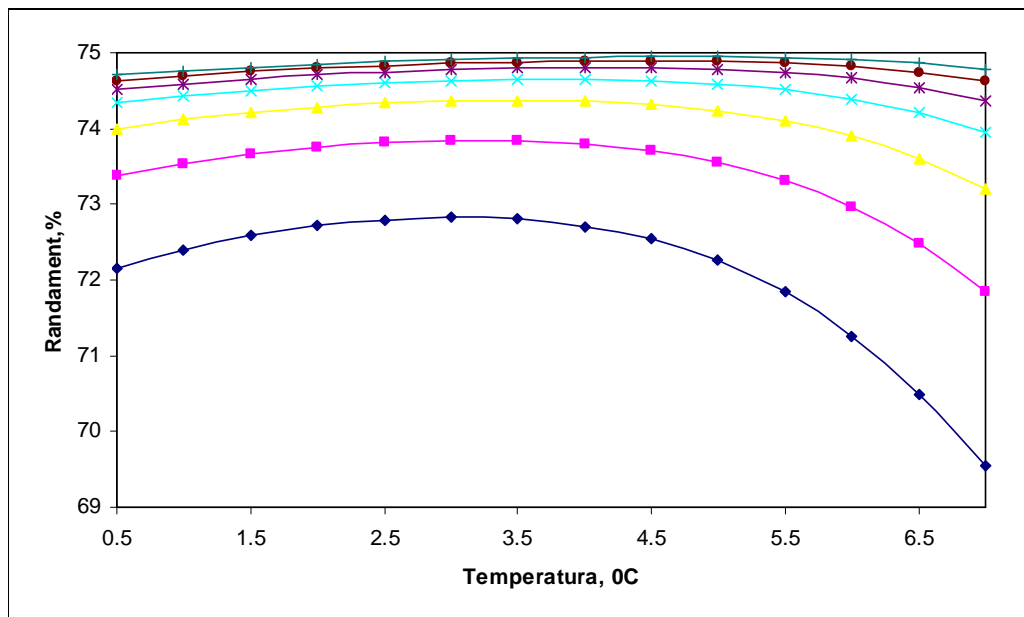


Figura 20: Influenta temperaturii asupra randamentului la o durata de reactie de 160 min si raportul molar de: 13,5 - albastru, 14 - cian, 14,5 - galben, 15 - bleu, 15,5- grena, 16- maro, 16,5-verde

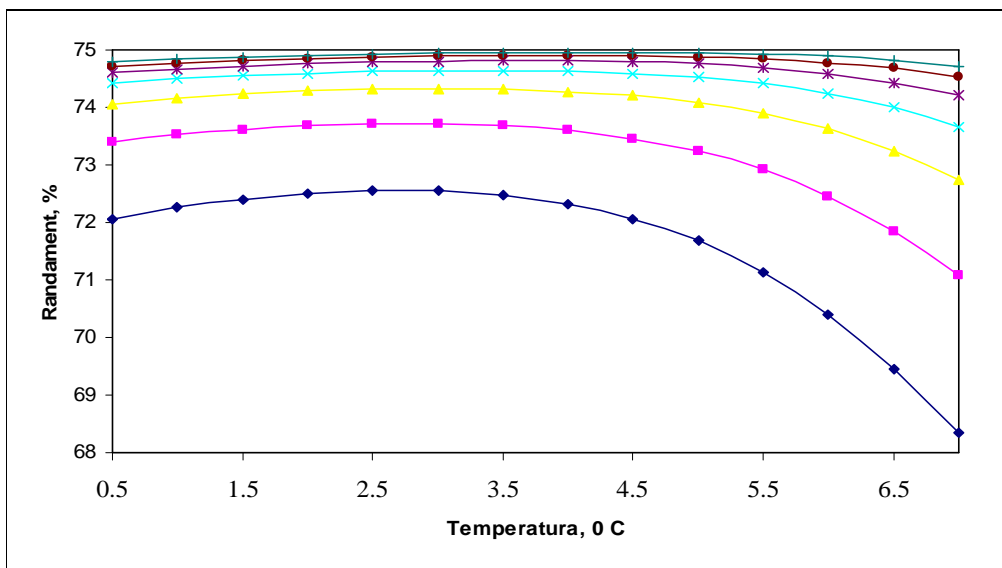


Figura 21: *Influenta temperaturii asupra randamentului la o durata de reactie de 180 min si raportul molar de: 13,5 - albastru, 14 - cian, 14,5 - galben, 15 - bleu, 15,5- grena, 16- maro, 16,5-verde*

Din figurile de mai sus, se observa ca, la cresterea temperaturii peste 3,5°C, randamentul scade, asa cum s-a constatat si la proiectarea experimentului. Aceeasi diagrama arata si ca cresterea timpului de reactie peste 180 minute si a raportului molar al reactantilor peste 16 nu mai influenteaza randamentul reactiei.

5.1.4.2. Modelarea neuronalala a procesului de eterificare a alcoolului 4-hidroxibenzilic cu 2-isopropoxietanol, in cataliza eterogena, cu Amberlyst 15 - faza de perfectare

Modelarea neuronalala directa

Metodologia de modelare aplicata in aceasta lucrare foloseste retele neuronale simple, cu unul sau doua straturi ascunse, care se utilizeaza pentru studiul influentei temperaturii si timpului de reactie asupra randamentului reactiei terminale. Pentru determinarea modelului neuronal, cele 231 seturi de date au fost impartite in 208 pentru antrenare si 23 pentru testare. S-au luat in considerare doua intrari (timpul de reactie si temperatura) si o iesire (randamentul reactiei).

Procedeul utilizat la determinarea topologiei retelei neuronale este cel al incercarilor succesive. S-au considerat diferite retele neuronale la care s-au variat numarul de straturi ascunse, numarul de neuroni in fiecare strat si s-au analizat performantele antrenarilor (eroare medie patratica, corelatie, eroare procentuala).

Parametrii modelarii neuronale sunt:

- functia de activare – tangenta hiperbolica;
- algoritmul de invatare- delta Bar Delta;
- numarul maxim de epoci-10.000;
- precizia-0,000001.

Au fost testate retele neuronale tip *perceptron multistrat si feedforward generalizata*. Topologia retelei, numarul straturilor ascunse si al neuronilor de pe fiecare dintre acestea, s-a stabilit in faza de antrenare pentru mai multe retele. Pe baza performantelor prezentate in tabelul 29, s-a stabilit ca modelul retelei neuronale are un strat ascuns cu 3 neuroni si poate fi redat prin codul *MLP (2:3:1)*.

Parametrii statistici ce caracterizeaza antrenarea retelei *MLP* (2:3:1): coeficientul liniar de corelatie (*R*), eroarea medie patratica (*MSE*) si eroarea medie absoluta (*MAE*) (tabelul 30) indica faptul ca modelul neuronal descrie bine reactia studiata.

Tabelul 30. *Parametrii statistici pentru antrenarea retelei MLP*

Performanta	MLP(2:3:1)	MLP(2:5:1)	MLP(2:9:1)	GFF(2:3:1)	GFF(2:5:1)
Eroarea medie patratica, <i>MSE</i>	0,052513	0,059066	0,056308	0,053209	0,053657
Eroarea medie absoluta, <i>MAE</i>	0,162583	0,1791	0,171782	0,163648	0,165925
Coeficientul de corelatie liniara, <i>r</i>	0,995221	0,994666	0,994895	0,995159	0,995122

Performantele antrenarii se evidențiază în figura 24.

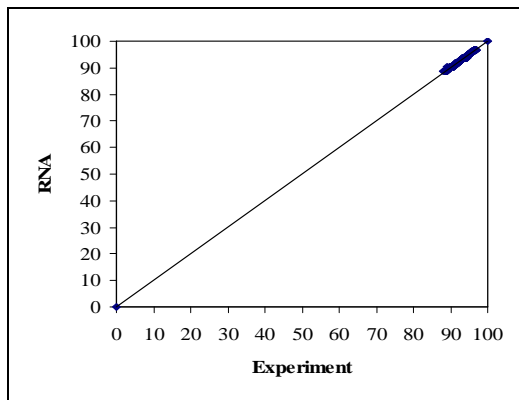


Figura 24: *Performantele etapei de antrenare*

Utilitatea modelelor neuronale este determinata de rezultatele etapei de validare. Pentru validare, au fost utilizate date noi care nu au fost folosite in faza de antrenare a procesului. In cazul studiat, reteaua *MLP*(2:3:1) a primit date de intrare neutilitate in procesul de antrenare si a generat valorile raspuns. Rezultate obtinute sunt prezentate in figura 25.

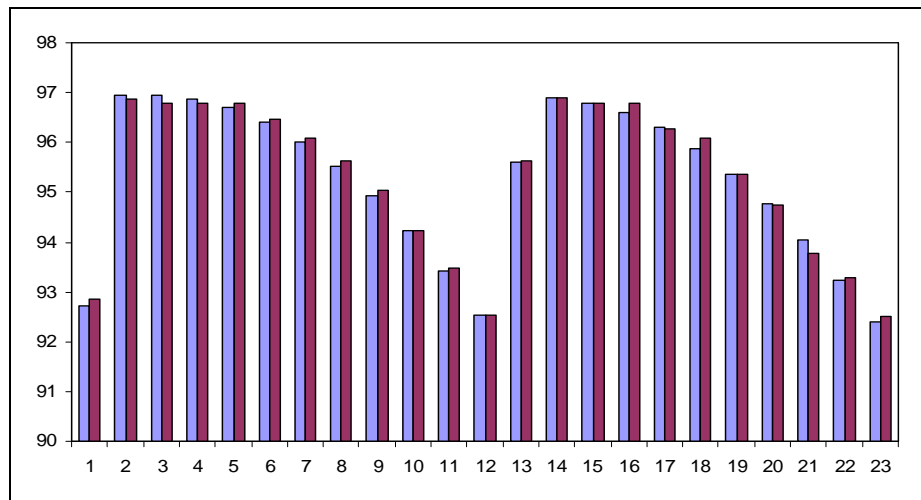


Figura25: *Randamentul reactiei terminale determinat experimental si predictiile modelului neuronal MLP(2:3:1) in etapa de validare*

Rezultatele bune obtinute in etapa de validare au permis utilizarea modelului neuronal pentru a efectua predictii corespunzatoare unor conditii noi, neexperimentate anterior. Pentru cunoasterea cat mai completa a procesului studiat, in vederea conducerii optimale a acestuia, s-au considerat valori ale variabilelor independente in jurul optimului posibil de 97%, pentru randamentul in produs. Rezultatele obtinute se prezinta in figura 26.

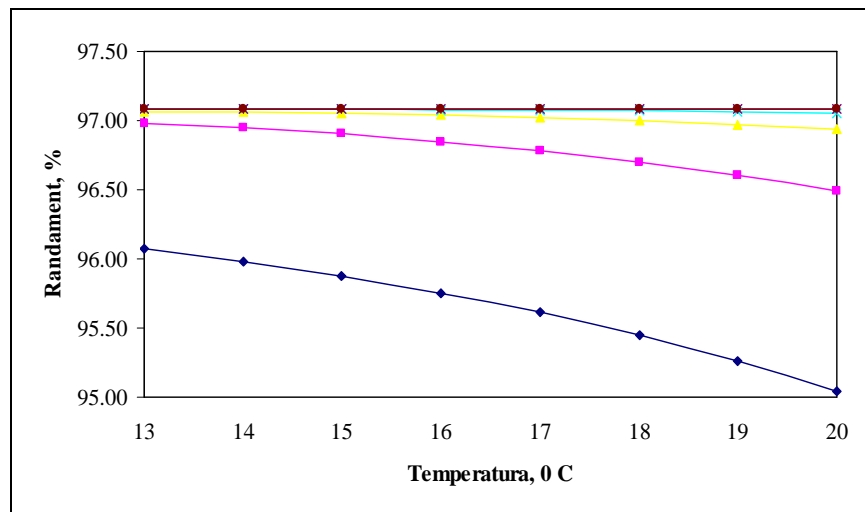


Figura 26: *Predictiile modelului neuronal MLP(2:3:1) la variația temperaturii și a duratei de reacție: 11 ore -albastru, 13 ore-cian, 14 ore-galben, 15 ore-verde, 16 ore-maro.*

Din figura 26, se observa ca, la cresterea temperaturii, randamentul scade, asa cum s-a constatat si la proiectarea experimentului. Aceeasi diagrama arata si ca cresterea timpului de reactie peste 14 ore nu mai influenteaza randamentul reactiei. In concluzie, simularea efectuata cu ajutorul modelului neuronal *MLP(2:3:1)* confirma obtinerea randamentului optim de aproximativ 97% la un timp de reactie de 14 ore si o temperatura de 16 °C, ceea ce concorda cu modelarea statistica efectuata anterior. Rezultatele simularii neuronale indica, de asemenea, si ca optimul este stabil pentru variatii ale temperaturii de ±1 °C pentru durata de 14 ore.

5.1.5. Tehnologia de obtinere a 4-[(2-isopropoxietoxi)metil-fenolului, prin reactia de eterificare a alcoolului 4-hidroxibenzilic cu 2-isopropoxietanol, in cataliza eterogena

Pe baza rezultatelor obtinute in urma modelarii reactiei de eterificare a alcoolului 4-hidroxibenzilic cu 2-isopropoxietanol, in cataliza eterogena, utilizand catalizatorul Amberlyst 15, s-a propus urmatorul mod de lucru, pentru faza de laborator:

Intr-un balon de reactie de 500 ml, se introduc 250 ml (2,183 mol) 2-isopropoxietanol si 20 g Amberlyst15, pe baie de gheata, mentinuta la temperatura de 3,5°C, sub agitare energica. 20 g alcool 4-hidroxibenzilic (0,161 mol) se adauga, in portiuni de 1,78 g, timp de 5 ore. Amestecul de reactie se agita, la temperatura de 3,5°C, timp de 158 minute, dupa care se aduce la temperatura camerei (16°C) si se agita energetic inca 14 ore. Dupa expirarea timpului de reactie, amestecul de reactie se filtreaza, catalizatorul recuperat spalandu-se pe filtru cu 15 ml 2-isopropoxietanol. Filtratul se trateaza cu 0,85 g carbonat de potasiu si se agita energetic 30 minute. Dupa expirarea acestui timp, excesul de carbonat de potasiu se filtreaza, iar amestecul de reactie se distila, recuperandu-se astfel excesul de 2-isopropoxietanol.

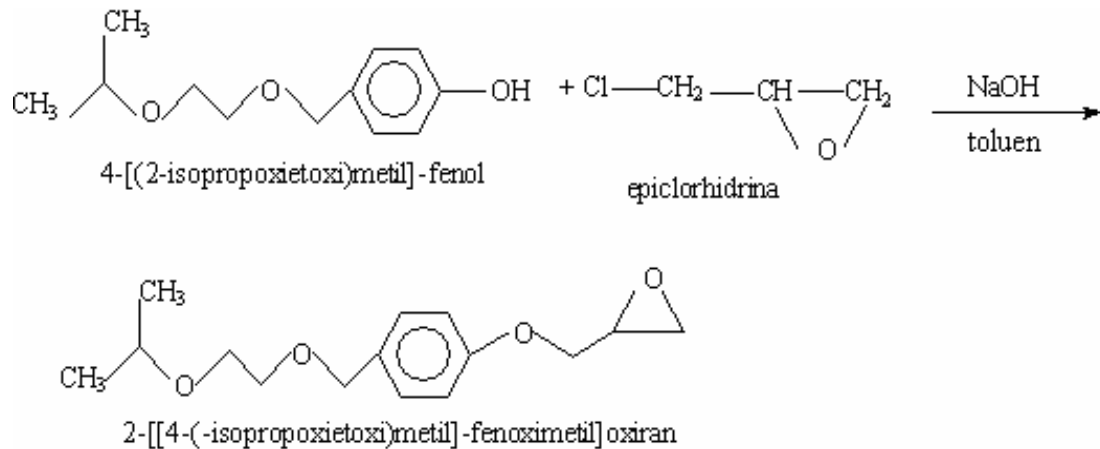
Intr-o palnie de separare, 4-[(2-isopropoxietoxi)metil-fenolul obtinut se reia in 120 ml toluen, si se spala de 3 ori cu un volum de 120 ml apa/spalare. Extractul toluenic se separa si se trateaza cu o solutie de hidroxid de sodiu (preparata in prealabil prin solvirea a 4,8 g hidroxid de sodiu in 72 ml apa),

obtinandu-se 36,20 g 4-[(2-isopropoxietoxi)metil-fenolat de sodiu, intermediar ce va fi utilizat in etapa urmatoare.

5.2. STUDIUL REACTIEI DE CONDENSARE A INTERMEDIARULUI 4-[(2-ISOPROPOXETOXI)METIL-FENOL] CU EPICLORHIDRINA

5.2.1. Condensarea intermediarului 4-[(2-isopropoxietoxi)metil-fenol] cu epiclorhidrina

Aceasta reactie consta in alchilarea la gruparea fenolica a derivatului obtinut in etapa precedenta, cu epiclorhidrina, in mediu bazic, in prezenta unui hidroxid alcalin, obtinandu-se 2-[[4-(isopropoxietoxi)metil]-fenoximetil]oxiran, conform reactiei chimice:



Pentru a stabili corect parametrii de realizare a proceselor chimice, s-a realizat un studiu de modelare matematica, prin metoda planificarii experimentelor si utilizarii ecuatilor de regresie. Urmarirea gradului de avansare a reactiei se realizeaza prin dozarea cantitativa a epiclorhidrinei, iar pentru aceasta am elaborat o metoda chromatografica, ce a fost dezvoltata in cadrul cercetarilor intreprinse.

5.2.2 Elaborarea metodei analitice de determinare a concentratiei epiclorhidrinei

Avansarea procesului chimic s-a urmarit prin determinarea concentratiei epiclorhidrinei in masa de reactie. Datele de literatura indica diverse posibilitati de dozare a epiclorhidrinei, HPLC sau GC-MS, in diverse medii [121–125]. Pentru determinarea concentratiei epiclorhidrinei in masa de reactie, s-a elaborat o metoda de analiza bazata pe cromatografia de lichide de inalta presiune, avand urmatorii parametri operationali:

Coloana chromatografica: Zorbax Eclipse XDB CN, 4.6 * 100mm (Agilent)

Temperatura coloanei : 35°C

Faza mobila: apa pt. cromatografie : acetonitril = 60 : 40 (v/v)

Debit: 1,2 ml/min

Detectie: fluorescenta, la lungimea de unda de excitatie 262 nm, si lungimea de unda de emisie 490 nm

Volum de injectie: 75 µl

Tip de injectie: Automata

Temperatura autosampler: 10°C

Substantele si reactivii chimici folositi in aplicarea acestei metode sunt prezentati in tabelul 35.

Tabelul 35. *Substante si reactivi chimici utilizati pentru determinarea epiclorhidrinei*

Substanta / Reactiv chimic	Puritate/ Provenienta
epiclorhidrina	Merck
dioxan	Merck
Acetonitril	HPLC
Metanol	HPLC
Apa pentru cromatografie	Eu. Ph.
Acid 9,10 dimetoxioxiantracen -2- sulfonic	Merck

Instrumentul chromatografic utilizat pentru determinarea concentratiei epiclorhidrinei este descris in tabelul 36.

Tabelul 36. *Caracteristicile instrumentului analitic utilizat pentru determinarea epiclorhidrinei*

Instrument	Marca/ Model
Autosampler	Agilent Technologies Seria 1100
Microdegazor	Agilent Technologies Seria 1100
Pompa cuaternara	Agilent Technologies Seria 1100
Termostat coloana	Agilent Technologies Seria 1100
Detector UV	Agilent Technologies Seria 1100

Validarea metodei de determinare a epiclorhidrinei a constat in verificarea caracteristicilor esentiale a unei metode analitice: liniaritate, limita de cuantificare, acuratete si precizie.

5.2.3. Modelarea procesului de condensare a intermediarului 4-[(2-isopropoxietoxi)metil-fenol cu epiclorhidrina

Reactia de condensare a intermediarului 4-[(2-isopropoxietoxi)metil-fenol cu epiclorhidrina degurge in mediu de toluen, in prezenta hidroxidului de sodiu. De asemenea, in scopul imbunatatirii randamentului de reactie, s-a folosit, drept catalizator de transfer de faza, polietilen glicol (PEG-400). In ultimii ani, solutiile apoase de polietenglicol H-(O-CH₂-CH₂)_n-OH (PEG) au fost folosite in numeroase reactii chimice organice. Toxicitatea scazuta, volatilitatea scazuta, stabilitatea ridicata la temperaturi inalte de pana la 200°C), stabilitatea in medii acide si bazice, precum si biodegradabilitatea acestor compusi reprezinta doar cateva avantaje ale utilizarii lor, alaturi de costul redus si usurinta in manipulare [129].

Astfel, am propus modelarea procesului de condensare a intermediarului 4-[(2-isopropoxietoxi)metil-fenol cu epiclorhidrina atat in absenta, cat si in prezenta PEG-400, comparand ulterior randamentele de reactie, in cele doua situatii.

5.2.3.1. Modelarea procesului de condensare a intermediarului 4-[(2-isopropoxietoxi)metil-fenol cu epiclorhidrina- in absenta PEG-400

a) Programarea experimentelor. Variabile si codificari

Experimentele preliminarii precum si datele din literatura au indicat dependenta randamentului reactiei de condensare a intermediarului 4-[(2-isopropoxietoxi)metil-fenol cu epiclorhidrina, in absenta PEG -400, de urmatorii parametri independenti: timp de reactie si temperatura de reactie.

S-a ales ca program de experimentare un program central compus rotabil si s-a propus ca model pentru estimarea randamentului o ecuatie de regresie de gradul 2, de forma:

$$y=b_0+b_1x_1+b_2x_2+b_{11}x_1^2+b_{22}x_2^2+b_{12}x_1x_2 \quad (22)$$

In tabelele urmatoare, sunt prezentate valorile reale si codificate ale variabilelor (tabelul 38) si respectiv programul de desfasurare al experimentelor (tabelul 39).

Tabelul 38. *Nivelurile variabilelor independente*

Nr. crt.	Parametri determinanti pentru reactie	Codificarea parametrilor	Nivelul de codificare			Interval de variație
			-1	0	+1	
1.	Timpul de reactie, ore	x_1	0,5	1	1,5	0,5
2.	Temperatura de reactie, °C	x_2	40	60	80	20

b) Obtinerea ecuatiei de regresie si interpretarea rezultatelor

Efectuand calculele conform procedurii uzuale, se ajunge la urmatoarea ecuatie de regresie pentru randament:

$$y = 75 - 0,7125x_1 - 14,01x_2 - 16,366x_1^2 - 16,954x_2^2 - 8,925x_1x_2 \quad (23)$$

Tabelul 39. *Matrice de experimentare (program central compus rotabil) si randamentele obtinute*

Nr.crt.	x_1	x_2	x_1^2	x_2^2	x_1x_2	$y_{exp.}$	$y_{calc.}$
1.	-1	-1	+1	+1	+1	46,50	47,48
2.	+1	-1	+1	+1	-1	62,10	63,90
3.	-1	+1	+1	+1	-1	37,30	37,31
4.	+1	+1	+1	+1	+1	17,20	18,03
5.	-1,414	0	2	0	0	43,60	43,27
6.	+1,414	0	2	0	0	42,75	41,26
7.	0	-1,414	0	2	0	62,50	60,90
8.	0	+1,414	0	2	0	21,50	21,28
9.	0	0	0	0	0	75,00	75,00
10.	0	0	0	0	0	73,90	75,00
11.	0	0	0	0	0	74,60	75,00
12.	0	0	0	0	0	75,40	75,00
13.	0	0	0	0	0	76,10	75,00

Pentru a determina valoarea maxima a functiei, se apeleaza la conditiile necesare de extrem, obtinandu-se un sistem liniar si neomogen in necunoscutele x_1 si x_2 :

$$\left\{ \begin{array}{l} (24) \quad \partial y / \partial x_1 = -0,7125 - 32,732x_1 - 8,925x_2 = 0 \\ (25) \quad \partial y / \partial x_2 = -14,01 - 8,925x_1 - 33,908x_2 = 0 \end{array} \right.$$

$$\left\{ \begin{array}{l} \text{Prin rezolvarea sistemului, se obtin valorile:} \\ x_1^0 = 0,0979 \\ x_2^0 = -0,439 \end{array} \right.$$

care, dupa decodificare, conduc la urmatoarele valori ale parametrilor luati in discutie:

- timp de reactie: 1,05 ore (63 minute);
- temperatura: 51,2°C.

Valoarea maximului este data de $y_{max} = y(x_1, x_2) = 78,04\%$.

In figurile 30 si 31, se prezinta grafic (utilizand o sectiune din programul MATLAB) raspunsurile date de ecuatie de regresie pentru $x_1=0,0979$ (valoarea optima pentru parametrul timp de reactie), $x_2 = -0,439$ (valoarea optima pentru parametrul temperatura).

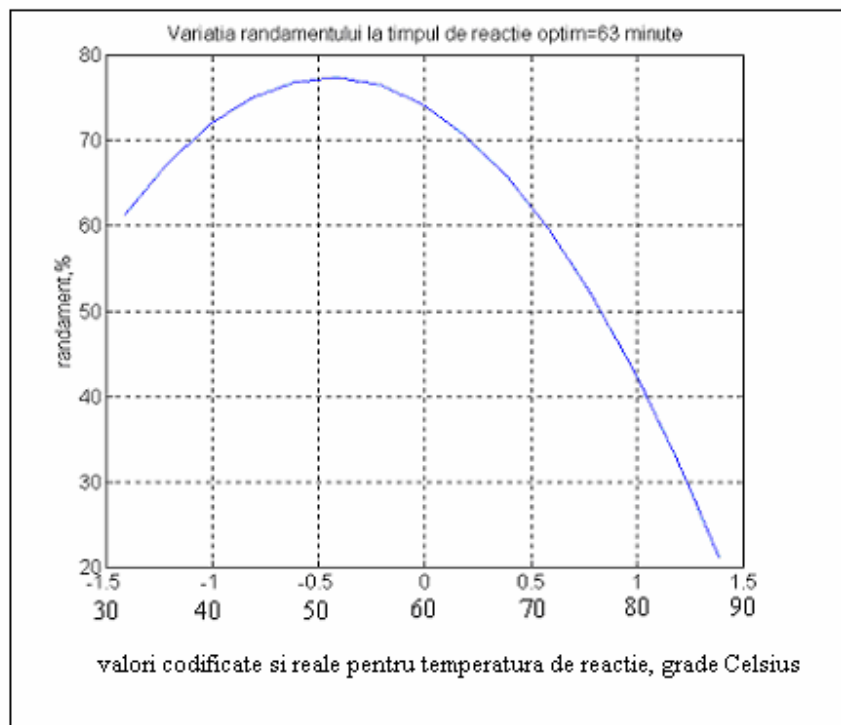


Figura 30 : *Reprezentarea grafica a ecuatiei de regresie la timpul de reactie optim*

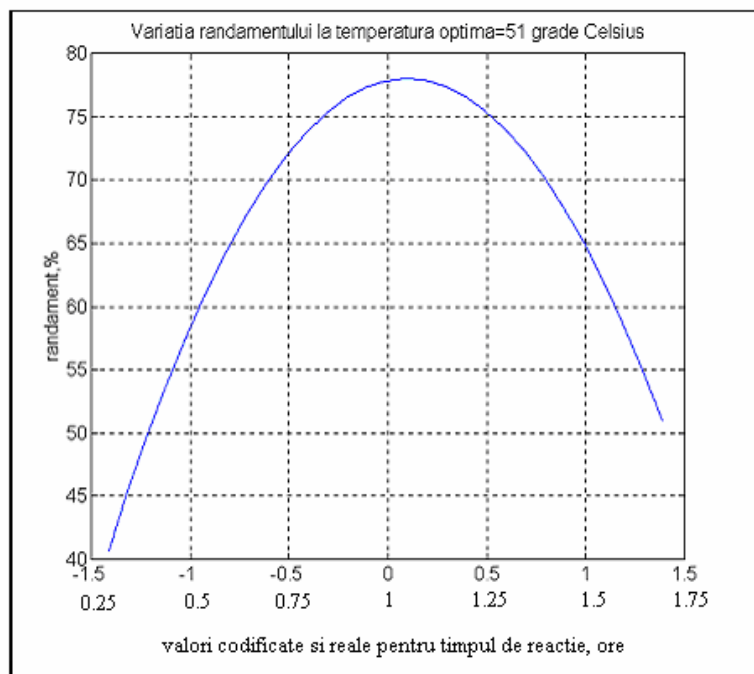


Figura 31 : *Reprezentarea grafica a ecuatiei de regresie la temperatura de reactie optima*

5.2.3.2. Modelarea procesului de condensare a intermediarului 4-[(2-isopropoxietoxi)metil-fenol cu epiclorhidrina - in prezenta PEG-400

a) Programarea experimentelor. Variabile si codificari

Experimentele preliminarii, precum si datele din literatura, au indicat dependenta randamentului reactiei de condensare, in prezenta PEG-400, de urmatorii parametri independenti:

- Timp de reactie;
- Temperatura de reactie;
- Raport molar PEG-400 / 4-[(2-isopropoxietoxi)metil-fenol.

S-a ales ca program de experimentare un program central compus rotabil si s-a propus ca model pentru estimarea randamentului o ecuatie de regresie de gradul 2, de forma:

$$y = b_0 + b_1 x_1 + b_2 x_2 + b_3 x_3 + b_{11} x_1^2 + b_{22} x_2^2 + b_{33} x_3^2 + b_{12} x_1 x_2 + b_{13} x_1 x_3 + b_{23} x_2 x_3 \quad (26)$$

In tabelele urmatoare, sunt prezentate valorile reale si codificate ale variabilelor (tabelul 40) si, respectiv, programul de desfasurare al experimentelor (tabelul 41).

Tabelul 40. *Nivelurile variabilelor independente*

Nr. crt.	Parametri determinanti pentru reactie	Codificarea parametrilor	Nivelul de codificare			Interval de variație
			-1	0	+1	
1.	Timpul de reactie, ore	x_1	0,5	1	1,5	0,5
2.	Temperatura de reactie, °C	x_2	40	60	80	20
3.	Raportul molar Isopropoxietanol/ alcool 4-hidroxibenzilic	x_3	0,20	0,35	0,50	0,15

c) Obtinerea ecuatiei de regresie si interpretarea rezultatelor

Efectuand calculele conform procedurii uzuale, se ajunge la urmatoarea ecuatie de regresie pentru randament:

$$y=78,09+ 0,13x_1 - 10x_2 + 5,49x_3 - 11,34x_1^2 - 11,54x_2^2 - 8,31 x_3^2 - 8,81x_1x_2 + 2,31x_1x_3 + 1,01 x_2x_3 \quad (27)$$

Tabelul 41. *Matrice de experimentare (program central compus rotabil) si randamentele obtinute*

Nr. crt.	x_1	x_2	x_3	x_1^2	x_2^2	x_3^2	x_1x_2	x_1x_3	x_2x_3	$y_{exp.}$	$y_{calc.}$
1.	-1	-1	-1	+1	+1	+1	+1	+1	+1	45,95	45,79
2.	+1	-1	-1	+1	+1	+1	-1	-1	+1	58,77	59,05
3.	-1	+1	-1	+1	+1	+1	-1	+1	-1	40,97	41,39
4.	+1	+1	-1	+1	+1	+1	+1	-1	-1	19,76	19,41
5.	-1	-1	+1	+1	+1	+1	+1	-1	-1	50,27	50,13
6.	+1	-1	+1	+1	+1	+1	-1	+1	-1	72,17	72,63
7.	-1	+1	+1	+1	+1	+1	-1	-1	+1	50,20	49,77
8.	+1	+1	+1	+1	+1	+1	+1	+1	+1	37,10	37,03
9.	-1,682	0	0	2,828	0	0	0	0	0	45,49	45,80
10.	+1,682	0	0	2,828	0	0	0	0	0	45,89	46,24
11.	0	-1,682	0	0	2,828	0	0	0	0	62,59	62,27
12.	0	+1,682	0	0	2,828	0	0	0	0	27,66	28,63

13.	0	0	-1,682	0	0	2,828	0	0	0	45,74	45,36
14.	0	0	+1,682	0	0	2,828	0	0	0	63,52	63,82
15.	0	0	0	0	0	0	0	0	0	77,42	78,09
16.	0	0	0	0	0	0	0	0	0	78,00	78,09
17.	0	0	0	0	0	0	0	0	0	77,92	78,09
18.	0	0	0	0	0	0	0	0	0	77,91	78,09
19.	0	0	0	0	0	0	0	0	0	77,77	78,09
20.	0	0	0	0	0	0	0	0	0	78,37	78,09

Pentru a determina valoarea maxima a functiei, se apeleaza la conditiile necesare de extrem, obtinandu-se un sistem liniar si neomogen in necunoscutele x_1 , x_2 si x_3 :

$$\left\{ \begin{array}{l} (28) \quad \partial y / \partial x_1 = 0,13 - 22,68x_1 - 8,81x_2 + 2,31x_3 = 0 \\ (29) \quad \partial y / \partial x_2 = -10 - 23,08x_2 - 8,81x_1 + 1,01x_3 = 0 \\ (30) \quad \partial y / \partial x_3 = 5,49 - 16,62x_3 + 2,31x_1 + 1,01x_2 = 0 \end{array} \right.$$

Prin rezolvarea sistemului, se obtin valorile:

$$\left\{ \begin{array}{l} x_1^0 = 0,2373 \\ x_2^0 = -0,5094 \\ x_3^0 = 0,3308 \end{array} \right.$$

care, dupa decodificare, conduc la urmatoarele valori ale parametrilor luati in discutie:

- timp de reactie: 1,12 ore;
- temperatura: 50°C;
- raport molar PEG-400- 4-[(2-isopropoxietoxi)metil-fenol]: 0,4

Valoarea maximului este data de $y_{max} = y(x_1, x_2, x_3) = 81,56\%$.

Se constata ca utilizarea PEG-400 a permis cresterea randamentului de reactie de la 78,04% la 81,56%.

In figura 32, se reprezinta grafic, utilizand o sectiune din programul MATLAB, raspunsurile date de ecuatie de regresie pentru $x_1 = 0,2373$ (valoarea optima pentru timpul de reactie), $x_2 = -0,5094$ (valoarea optima pentru temperatura) si $x_3 = 0,4$ (valoarea optima pentru raportul molar PEG-400- 4-[(2-isopropoxietoxi)metil-fenol]).

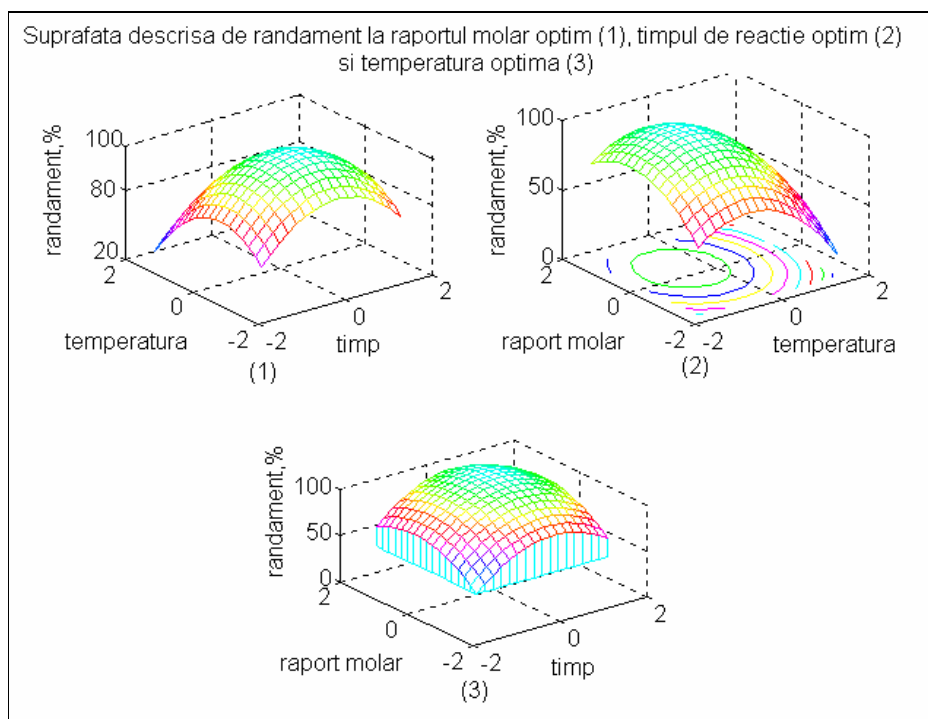


Figura 32: Reprezentarea grafica a ecuatiei de regresie la raportul molar PEG-400- 4-[2-isopropoxietoxi]metil-fenol (1), timpul de reactie(2) si temperatura de reactie (3) optime

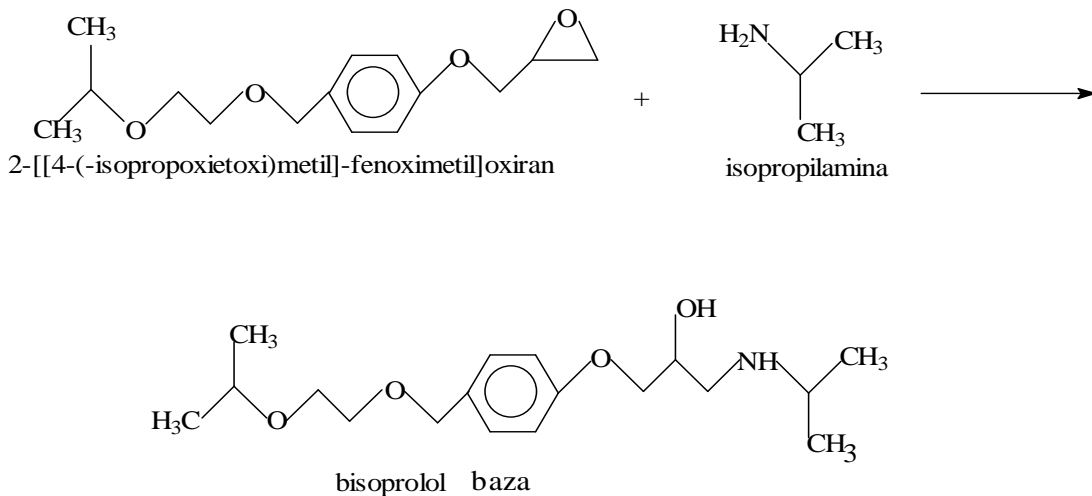
5.2.4. Tehnologia de obtinere a 2-[[4-(isopropoxietoxi)metil]-fenoximetil]oxiranului, prin reactia de condensare a 4-[(2-isopropoxietoxi)metil-fenolului cu epiclorhidrina, in prezenta PEG-400

Pe baza rezultatelor obtinute in urma modelarii reactiei de condensare a 4-[(2-isopropoxietoxi)metil-fenolului cu epiclorhidrina, s-a concluzionat ca, in cazul utilizarii PEG-400 drept catalizator de transfer de faza, randamentul de reactie are o valoare mai mare decat in cazul neutilizarii lui. De asemenea, folosirea PEG-400 a condus la o usoara scadere a temperaturii de reactie. Prin urmare, s-a propus urmatorul mod de lucru:

36,20 g (0,156 mol) 4-[(2-isopropoxietoxi)metil-fenolat de sodiu, obtinut in etapa anterioara, se trateaza cu 28g PEG-400 (0,062 mol) si 15 g (0,16 mol) epiclorhidrina. Amestecul de reactie se incalzeste la temperatura de 50°C, si se agita energetic, timp de 67 minute. Dupa perfectarea reactiei, amestecul de reactie se raceste si se extrage in 30 ml toluen. Ulterior, extractul toluenic se trateaza cu 3,4 g hidroxid de sodiu (0,06 mol), agitandu-se energetic, timp de 30 minute. Dupa expirarea acestui timp, amestecul de reactie se spala de trei ori cu apa (30 ml apa / spalare). Extractul toluenic se separa si, ulterior, se distila toluenul, obtinandu-se cantitatea de 34,90 g 2-[[4-(isopropoxietoxi)metil]-fenoximetil]oxiran. Randament de reactie: 81,56%.

5.3. CONDENSAREA DERIVATULUI EPOXIDIC CU ISOPROPILAMINA SI OBTINEREA BISOPROLOLULUI BAZA

Aceasta reactie are ca rezultat obtinerea bisoprololului baza, prin condensarea 2-[[4-(isopropoxietoxi)metil]-fenoximetil]oxiranului, obtinut in etapa anterioara, cu isopropilamina, conform reactiei chimice:



In mod practic, aceasta reactie s-a realizat astfel:

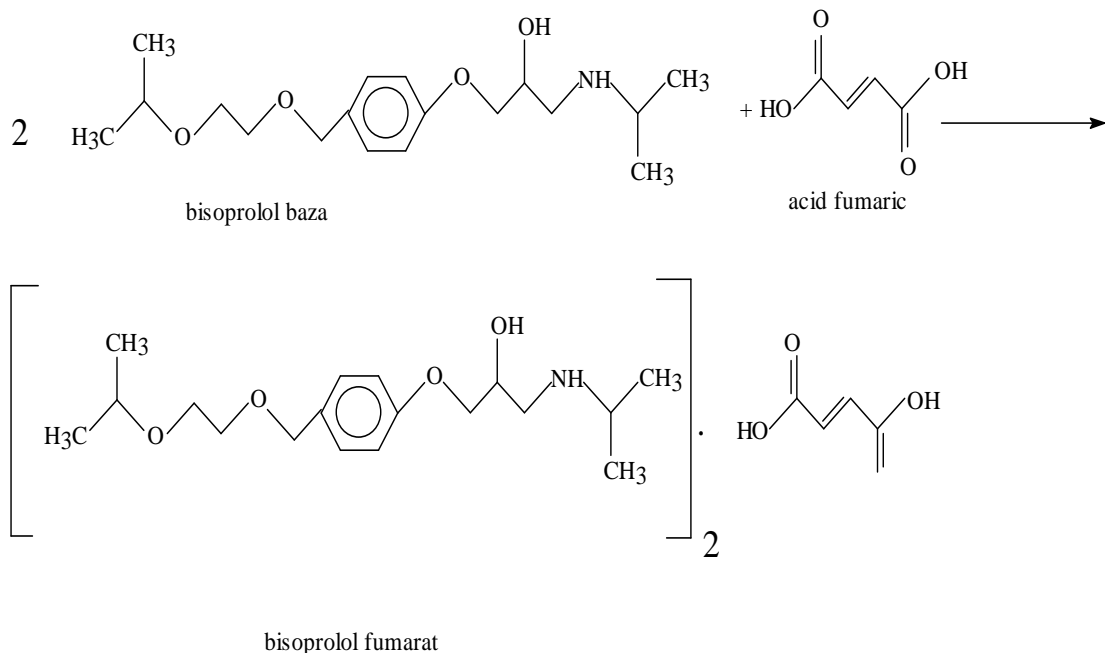
Intr-un vas de reactie de 500 ml, se introduc 34,90 g 2-[[4-(isopropoxietoxi)metil]-fenoximetil]oxiran si 60 ml metanol. In acest amestec, se adauga 0,45 g borohidrura de sodiu, in portiuni de 0,045 g, sub agitare energica, timp de o ora. Dupa expirarea acestui timp, se adauga 13 ml (0,15mol) isopropilamina. Amestecul de reactie se agita energetic si se incalzeste la reflux, timp de 3 ore. Ulterior, amestecul de reactie se distila, indepartandu-se astfel excesul de isopropilamina si metanol. Uleiul rezidual se extrage in 45 ml cloroform si se spala de trei ori cu apa (45 ml apa / spalare). Extractul cloroformic se depune pe un suport de alumina, timp de 4-6 ore, dupa care se spala cu inca 45 ml cloroform. Noul extract cloroformic se distila, obtinandu-se astfel 41,75 g bisoprolol baza.

Randament de reactie: 79,91%.

5.4. OBTINEREA BISOPROLOLULUI FUMARAT. SEPARAREA SI PURIFICAREA PRODUSULUI OBTINUT

Pentru a putea fi conditionat sub forma de comprimate cu eliberare imediata si, ulterior, utilizat in terapeutica, administrat sub forma orala, este necesara obtinerea bisoprololului sub forma unor saruri farmaceutic acceptabile. Acizii organici ce pot fi utilizati in sinteza unor astfel de saruri pot fi alifatici sau aromatici, carboxilici si/sau sulfonici [130].

Cercetarile intreprinse au avut drept scop obtinerea bisoprololului fumarat, din bisoprololul baza, prin tratarea acestuia cu acid fumaric, conform reactiei chimice:



In mod practic, aceasta reactie s-a realizat astfel:

Intr-un vas de reactie de 250 ml, se introduc 41,75 g (0,129 mol) bisoprolol baza si 100 ml acetona. Amestecul de reactie se incalzeste la temperatura de 40°C si se adauga o cantitate de 4,5 g acid fumaric. Amestecul de reactie se incalzeste la reflux, timp de 30 minute. Dupa perfectarea reactiei, amestecul se filtreaza si spala pe filtru cu 10 ml acetona. Filtratul se raceste si se mentine la temperatura de 0-5°C, timp de o ora. Precipitatul format se separa si se spala cu 40 ml acetona. Produsul format se usuca, obtinandu-se 39,60 g bisoprolol fumarat (randament de reactie: 75,80%). Intr-un vas de reactie de 250 ml, se introduc 39,60 g bisoprolol fumarat si 100 ml acetona. Amestecul de reactie se omogenizeaza si se incalzeste la reflux, timp de 30 minute. Dupa expirarea acetui timp, amestecul se filtreaza si se spala cu un volum de 10 ml acetona. Filtratul se raceste si se mentine la temperatura de 0-5°C, timp de o ora. Produsul separat se centrifugheaza si se spala de 4 ori, cu un volum de 10 ml acetona/spalare. Produsul se usuca, la temperatura de 35-36°C, obtinandu-se astfel 38 g bisoprolol fumarat pur.

5.6. EVALUAREA CARACTERISTICILOR CALITATIVE SI CANTITATIVE PENTRU BISOPROLOLUL FUMARAT SINTETIZAT

Obiectivul studiilor de caracterizare a bisoprololului fumarat sintetizat a fost evaluarea parametrilor calitativi si cantitativi ale acestei substante [138]. S-au obtinut rezultatele prezentate in tabelul 46, ce sintetizeaza calitatea bisoprololului obtinut.

Tabelul 46. *Valorile obtinute pentru parametrii de calitate ai bisoprololului fumarat*

Nr. crt.	PARAMETRI	CRITERII DE ADMISIBILITATE	REZULTATE
1.	Aspect	Pulbere cristalina de culoare alba	coresponde
2.	Solubilitate	Usor solubil in alcool, acid acetic si cloroform; foarte usor solubil in apa, metanol, acetona si acetat de etil	coresponde
3.	Identificare IR	Conform standard	coresponde
4.	Apa, max. %	0,5	0,20
5.	Metale grele, max. %	0,002	<0,002
6.	Reziduu calcinare, max. %	0,10	0,05
7.	Substante inrudite -Impuritati A si E -total impuritati, max. % -Impuritati A si G -total impuritati, max. %	A : <0,3% E : <0,2% -Alte impuritati: <0,1%-0,5 - G: <0,5% -A: <0,3% -Alte impuritati: <0,1%-0,5	-0,104 -0,093 -0,031 -0,417 -0,234 -0,152
8.	Rotatie optica specifica, α_D^{20}	-2 - +2°	-1,95
9.	Continut in bisoprolol fumarat, % (raportat la substanta uscata)	99-101%	100,19
10.	Continut in acid fumaric, %, raportat la substanta uscata	14,8-15,4	15,10

Cap. 6. FORME DE CONDITIONARE A BISOPROLOLULUI FUMARAT SI STABILITATEA ACESTORA

6.1. Studii privind conditionarea bisoprololului fumarat sub forma de comprimate filmate

6.1.1. Evaluarea parametrilor reologici pentru pulberile de bisoprolol fumarat utilizate la realizarea comprimatelor filmate

Pentru realizarea comprimatelor filmate de bisoprolol fumarat, s-au utilizat urmatorii excipienti : celuloza microcristalina tip 102, amidon pregelatinizat, croscarmeloza sodica, dioxid de siliciu coloidal anhidru, stearat de magneziu si filme formate din alcool polivinilic partial hidrolizat, dioxid de titan (E 171), macrogol 4000/macrogol 3350, talc, si oxizi de fier (E 172).

S-a studiat reologia pulberilor care au fost supuse comprimarii. Astfel, s-a testat comportarea pulberilor omogenizate (inainte de comprimare), obtinute prin urmatoarele variante tehnologice:

1. varianta 1 (pulbere pentru compresie directa):

omogenizare→lubrifiere

2. varianta 2 (pulbere obtinuta prin granulare umeda):

omogenizare→granulare umeda→uscare→calibrare→lubrifiere

3. varianta 3 (pulbere obtinuta prin granulare uscata):

omogenizare→compactare→lubrifiere

S-au realizat comprimate filmate continand 5, respectiv 10 mg bisoprolol fumarat, prin comprimarea pulberilor omogenizate cu substanta activa si procesate conform variantelor 1-3. Compozitiile de lucru sunt prezentate in tabelul 50.

Tabelul 50. *Compozitia pulberilor utilizate la conditionarea bisoprololului fumarat sub forma de comprimate*

A. Comprimate filmate 5 mg (nucleu)	B. Comprimate filmate 10 mg (nucleu)
<p><i>Varianta 1</i></p> <p>-bisoprolol fumarat compactat echivalent cu 5 mg bisoprolol fumarat - celuloza microcristalina -amidon pregelatinizat -croscarmeloza sodica -dioxid de siliciu coloidal anhidru -stearat de magneziu</p>	<p><i>Varianta 1</i></p> <p>-bisoprolol fumarat compactat echivalent cu 10 mg bisoprolol fumarat - celuloza microcristalina -amidon pregelatinizat -croscarmeloza sodica -dioxid de siliciu coloidal anhidru -stearat de magneziu</p>
<p><i>Varianta 2</i></p> <p>-bisoprolol fumarat pulbere echivalent cu 5 mg bisoprolol fumarat - celuloza microcristalina -amidon pregelatinizat -croscarmeloza sodica -dioxid de siliciu coloidal anhidru -stearat de magneziu -polivinilpirolidona (solutie in isopropanol)</p>	<p><i>Varianta 2</i></p> <p>-bisoprolol fumarat pulbere echivalent cu 10 mg bisoprolol fumarat - celuloza microcristalina -amidon pregelatinizat -croscarmeloza sodica -dioxid de siliciu coloidal anhidru -stearat de magneziu -polivinilpirolidona (solutie in isopropanol)</p>
<p><i>Varianta 3</i></p> <p>-bisoprolol fumarat compactat echivalent cu 5 mg bisoprolol fumarat - celuloza microcristalina -amidon pregelatinizat -croscarmeloza sodica -dioxid de siliciu coloidal anhidru -stearat de magneziu</p>	<p><i>Varianta 3</i></p> <p>-bisoprolol fumarat compactat echivalent cu 10 mg bisoprolol fumarat - celuloza microcristalina -amidon pregelatinizat -croscarmeloza sodica -dioxid de siliciu coloidal anhidru -stearat de magneziu</p>

Parametrii reologici obtinuti pentru pulberile astfel formulate sunt prezentati in tabelul 51.

Tabelul 51. *Parametrii de curgere a pulberilor de bisoprolol fumarat realizeate prin cele 3 variante*

Nr. crt.	Varianta de lucru	Tip de comprimat	Dens.vol. (g/ml)		Diametrul orificiului critic (mm)	Unghi de repaus (grd.)	Compresibilitate (%)	Indice compus de curgere
			initial	la tasare				
1.	V1	A	0,28	0,47	15	43	31,5	62,1
2.	V2	A	0,32	0,42	11	36	19	78,3

3.	V3	A	0,29	0,49	12,5	40	28,4	66,7
4.	V1	B	0,38	0,69	15,5	48	33,6	61,8
5.	V2	B	0,43	0,61	11,5	39	23,2	77,6
6.	V3	B	0,40	0,72	12,5	44	30,5	65,5

In urma analizarii rezultatelor obtinute, se constata urmatoarele:

-Conform studiului realizat, cea mai buna curgere o are pulberea realizata prin varianta 2 (granulare umeda), confirmata si de obtinerea prin aceasta varianta a celor mai uniforme comprimate, atat din punct de vedere al dozei/comprimat, cat si din punct de vedere a uniformitatii masei.

-Ca urmare a corelatiilor stabilite intre valorile indicelui compus de curgere si comportarea la comprimare a pulberilor realizate prin cele trei variante, se poate considera ca acest indice este un indicator prezumtiv privind comportamentul unui amestec de pulberi ce va fi supus comprimarii.

-In cazul comprimatelor cu eliberare imediata (filmate), indicele compus de curgere trebuie acceptat cu moderatie, deoarece, pe langa teste de uniformitate, comprimatele trebuie sa corespunda si testelor de dezagregare si dizolvare, comportare independenta de valoarea indicelui compus de curgere.

6.1.2. Efectul dimensiunilor particulelor si naturii excipientilor asupra vitezei de eliberare a bisoprololului fumarat din comprimate

Cercetarile intreprinse au urmarit influenta dimensiunii particulelor de substanta activa, precum si a naturii aglutinantului, asupra vitezei de dizolvare *in vitro* a comprimatelor de bisoprolol fumarat obtinute prin procedeul de granulare umeda; studiile efectuate au avut ca obiectiv selectarea variantei optime de formulare in vederea obtinerii de comprimate cu biodisponibilitate superioara. De asemenea, s-a urmarit stabilirea unui model matematic empiric care sa permita evaluarea profilului de dizolvare in functie de cantitatea de aglutinant, excipient care influenteaza hotarator dizolvarea comprimatelor realizate prin procedee de granulare umeda. Utilizand modelul matematic, s-a stabilit cantitatea de aglutinant care asigura realizarea de comprimate cu un profil de dizolvare foarte apropiat de cel al medicamentului inovator.

6.1.2.1. Stabilirea dimensiunilor particulelor si a naturii aglutinantului in vederea obtinerii de comprimate de bisoprolol fumarat cu dizolvare conform USP 29

Pentru a studia influenta naturii aglutinantului in vederea obtinerii de comprimate de bisoprolol fumarat cu dizolvare conform USP 29, s-au folosit urmatorii aglutinanti: metilceluloza, polivinilpirolidona K30 (PVP) si gelatina alba, precum si restul excipientilor din formulare, respectiv celuloza microcristalina, amidon pregelatinizat, croscarmeloză sodica, dioxid de siliciu coloidal anhidru, stearat de magneziu. Compozitia comprimatelor de bisoprolol fumarat este prezentata in tabelul 52.

Tabelul 52. *Compozitia comprimatelor de 10 mg bisoprolol fumarat*

Nr. crt.	Ingredient	Masa / comprimat (mg)	% / comprimat (raportat la nucleu)
1.	Bisoprolol fumarat	10,00	8,340
2.	Celuloza microcristalina	52,57	43,805
3.	Aglutinant	0,96	0,800
4.	amidon pregelatinizat	52,57	43,805
5.	croscarmeloză sodica	2,64	2,200
6.	dioxid de siliciu coloidal anhidru	0,96	0,8
7.	stearat de magneziu	0,30	0,250

	Masa totala comprimat neacoperit	120	100
8.	Film Opadry® II 85F 24297	4,20	-
	Total	124,20	-

In studiu, s-a utilizat urmatoarea aparatura:

- granulator umed de laborator tip Erweka;
- calibrator cu bare oscilante tip Erweka;
- masina de comprimat monopost;
- tester de dizolvare Pharmatest;
- aparat HPLC Agilent 1200.

Granularea umeda s-a realizat dupa urmatorul procedeu general: bisoprolol fumarat pulbere s-a omogenizat cu aproximativ jumata din cantitatea de celuloza microcristalina, apoi s-a granulat cu solutia apoasa de aglutinant. Dupa uscare la umiditate de 12-15%, granulatul s-a calibrat pe sita de 0,8mm si s-a omogenizat cu restul excipientilor. Pulberea granulata s-a supus apoi comprimarii la forta medie, obtinandu-se comprimate biconvexe cu diametrul de 7 mm.

Dizolvarea comprimatelor s-a efectuat conform metodei descrise in USP 29, pe aparatul 2. Testul s-a desfasurat utilizand 900 ml apa distilata, la temperatura de $37\pm5^{\circ}\text{C}$ si o viteza de agitare de 75 rotatii/minut. Esantioanele pentru analiza (s-au prelevat probe de cate 5 ml) au fost colectate manual la intervale de timp bine definite, pe parcursul a 20 minute, si au fost filtrate pe filtru de $0,45\text{ }\mu\text{m}$. Volumul de proba prelevat a fost inlocuit cu acelasi volum de apa distilata, la temperatura de 37°C . Dupa dilutia coresunzatoare cu apa distilata, concentratia in bisoprolol fumarat a fost determinata, utilizand o metoda HPLC, avand urmatorii parametri:

Instrument analitic: Agilent Technologies seria 1200;
 Coloana cromatografica: Chromolith Speed Rod RP-18e (4.6*50 mm) (Merck);
 Temperatura coloanei: 25°C ;
 Faza mobila: tampon fosfat monopotasic 0.02M, pH 3: acetonitril:metanol= 60:14:26 (v/v);
 Debit: 1 ml/min;
 Detectie: UV, la lungimea de unda 227 nm;
 Volum de injectie: 20 μl ;
 Tip de injectie: automata;
 Temperatura autosampler: 20°C .

Conditia de dizolvare, conform USP 29: minim 80% bisoprolol fumarat dizolvat in 20 minute.

Rezultatele obtinute la dizolvarea comprimatelor realizate prin granularea pulberii de bisoprolol fumarat, in conditiile efectuarii granularii cu fiecare din cele trei tipuri de solutii de aglutinanti, sunt prezentate in tabelul 54.

Tabelul 54. Dizolvarea comprimatelor de bisoprolol fumarat obtinute prin granulare umeda cu pulbere de substanta activa , utilizand diversi aglutinanti

Nr. crt.	Timp (min)	% bisoprolol fumarat dizolvat		
		metilceluloza	PVP	gelatina alba
1.	5	19,5	35,4	18,4
2.	10	40,2	55,8	34,2
3.	15	59,5	71,2	52,5
4.	20	69,8	84,7	62,2

Profilele de dizolvare obtinute pentru fiecare dintre cele trei pulberi sunt prezentate in figura 41.

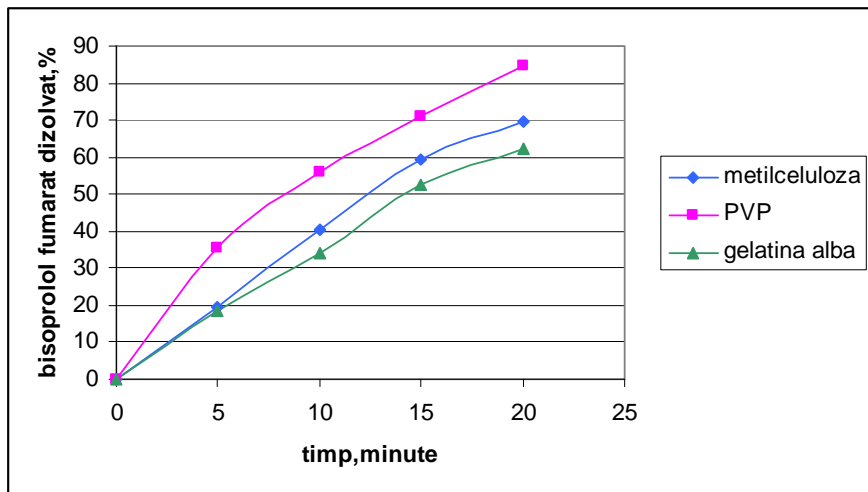


Figura 41: *Profilele de dizolvare ale comprimatelor de bisoprolol fumarat obtinute prin granulare umeda, cu pulbere de substanta activa, utilizand diversi aglutinanti*

Analizand datele obtinute, se constata ca conditia de dizolvare o indeplineste doar comprimatele realizate cu PVP. Comprimatele realizate cu metilceluloza si gelatina alba prezinta o dizolvare necorespunzatoare. Deoarece PVP este un aglutinant accesibil si asigura dizolvarea cea mai buna, s-a studiat comportarea la dizolvare a comprimatelor de bisoprolol fumarat in functie de cantitatea de PVP utilizata la granulare.

6.1.2.2. Modelarea procesului de dizolvare a comprimatelor de bisoprolol fumarat functie de cantitatea de aglutinant

In scopul modelarii procesului de dizolvare a comprimatelor de bisoprolol fumarat functie de cantitatea de aglutinant, s-a utilizat una dintre variantele de modelare empirica bazata pe un numar relativ redus de date experimentale. Astfel, s-a urmarit stabilirea unui model matematic pentru dizolvarea comprimatelor de bisoprolol fumarat obtinute din granulate cu PVP, pe baza rezultatelor experimentale obtinute la dizolvarea comprimatelor continand 0,8%, 1,5%, respectiv 3% PVP.

In cazul utilizarii unei cantitati de aglutinant mai mica de 0,8%, procentul de particule neaglutinate depaseste 30%, cu implicații negative asupra curgerii. Un procent de aglutinant mai mare de 3% are drept consecinta cresterea forta de coeziune intre particule, ceea ce duce la cresterea duritatii comprimatelor si, implicit, a timpului de dezagregare.

Scopul modelarii este stabilirea cantitatii de aglutinant care conduce la un profil de dizolvare apropiat de cel al medicamentului de referinta. Modelarea realizata s-a bazat pe regresia liniara; ecuatiiile de dizolvare a bisoprololului fumarat din comprimate redau dependenta vitezei de dizolvare de timp si de continutul in PVP. Modelul stabilit permite evaluarea comportarii la dizolvare a comprimatelor de bisoprolol fumarat pentru orice valoare a concentratiei de PVP din intervalul studiat, respectiv 0,8-3%.

Profilul de dizolvare a fost determinat conform USP 29. Cantitatea de bisoprolol fumarat dizolvat s-a determinat prin metoda HPLC descrisa anterior.

Comprimatele s-au realizat conform formulei prezentate, cresterea sau scaderea cantitatii de PVP facandu-se pe seama diluantului (celuloza microcristalina). Astfel, s-au realizat comprimate de 10 mg bisoprolol fumarat cu un continut de 0,8 mg PVP/ comprimat (0,8%), 1,8 mg PVP/comprimat (1,5%), respectiv 3,6 mg PVP/comprimat (3%).

Pentru a stabili modelul matematic prin regresie liniara pe baza rezultatelor experimentale obtinute in urma dizolvării comprimatelor cu continuturile de PVP precizate mai sus, este necesara parcurgerea urmatoarelor etape:

1. Se determina profilul de dizolvare pentru cele trei formulari;

2. Prin interpolarea datelor experimentale, se stabileste un model cinetic liniar de tipul:

$$y = mx + n \quad (31)$$
 3. Se determina cea mai buna corelatie intre concentratia in PVP si panta dreptelor, respectiv intersectia acestora cu ordonata si se calculeaza ecuatia de regresie;
 4. Se introduc panta si intersectia cu ordonata in ecuatia generala;
 5. Se verifica modelul obtinut prin compararea valorilor calculate pe baza acestuia cu cele obtinute experimental si se determina adevarata modelului pentru intervalul de incredere considerat, respectiv 95%;
- S-au obtinut urmatoarele rezultate:
1. Profilele de dizolvare pentru cele trei tipuri de comprimate de bisoprolol fumarat (comprimate test) comparativ cu cel al produsului de referinta sunt prezentate in tabelul 55.

Tabelul 55. Profilele de dizolvare a celor trei tipuri de comprimate cu bisoprolol fumarat (comprimate test) comparativ cu cel al comprimatelor de referinta

Timp (min)	Comprimate referinta	% bisoprolol fumarat dizolvat		
		Comprimate test		
		PVP 0,8%	PVP 1,5 %	PVP 3 %
5	43,4	31,3	42,9	44,7
10	66,2	50,5	64,4	67,1
15	79,6	65,3	77,8	81,6
20	87,4	80,6	85,3	88,8
30	96,3	86,7	94,9	97,5
40	100,1	91,1	96,6	103,9

Reprezentarea grafica a profilelor de dizolvare este prezentata in figura 42.

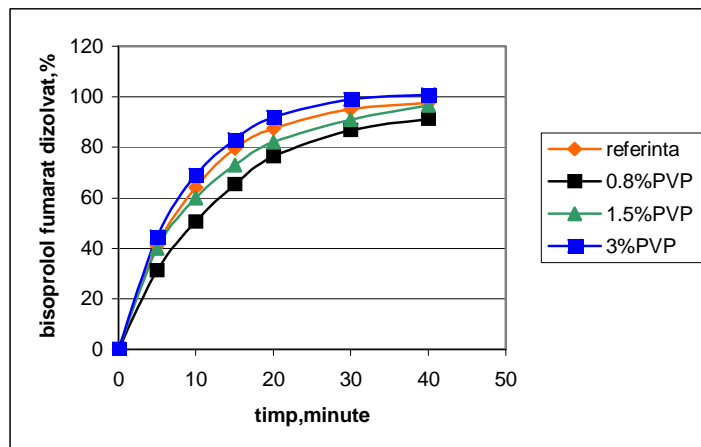


Figura 42: Profilele de dizolvare ale comprimatelor de bisoprolol fumarat obtinute cu diverse proportii de aglutinanti comparativ cu produsul referinta

2. Prin interpolarea datelor experimentale, se obtin urmatoarele ecuatii liniarizante de tip Higuchi [149]:

-Pentru referinta:

$$A_{dizR} = 18,857\sqrt{t} + 7,7771 \quad (32)$$

(coeficient de corelatie = 0,9552)

-Pentru comprimatele cu PVP 0,8%:

$$A_{diz1} = 16,244\sqrt{t} + 4,6463 \quad (33)$$

(coeficient de corelatie = 0,9577)

-Pentru comprimatele cu PVP 1,5 %:

$$A_{diz2} = 16,582\sqrt{t} + 5,6376 \quad (34)$$

(coeficient de corelatie = 0,9526)

-Pentru comprimatele cu PVP 3%:

$$A_{diz3} = 18,376\sqrt{t} + 8,8674 \quad (35)$$

(coeficient de corelatie = 0,9557)

in care A_{diz} = %bisoprolol fumarat dizolvat si t = timp (minute)

Liniarizarea a fost posibila deoarece toti coeficientii de corelatie au valori mai mari de 0,95. Reprezentarea grafica a dreptelor de interpolare este redata in figura 43.

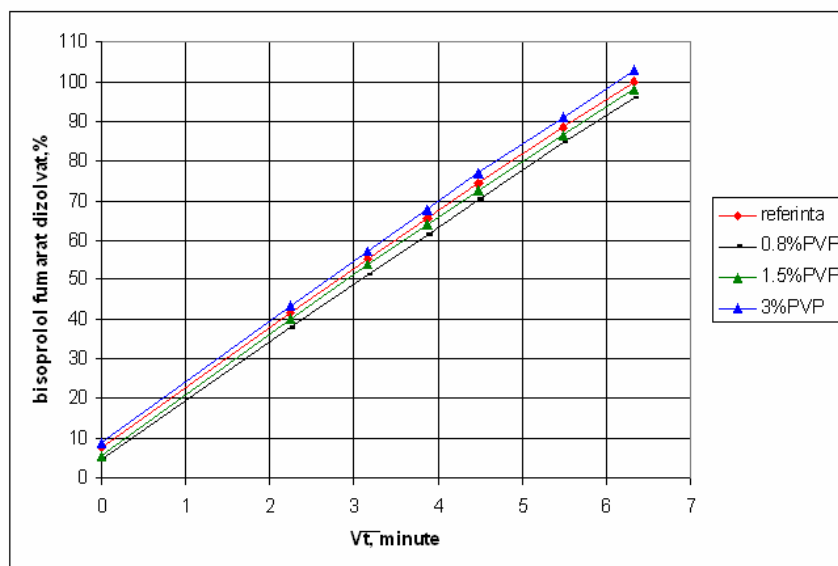


Figura 43: *Reprezentarea grafica a modelelor cinetice de tip Higuchi*

3. Pentru determinarea ecuațiilor de corelatie intre concentrația PVP și panta, respectiv intercept, se utilizează valorile obținute din ecuațiile precedente.

Continut de PVP, %	Panta (m)	Intercept (n)
1	16,244	4,6463
3	16,582	5,6376
5	18,376	8,8674

Se obtin urmatoarele corelatii:

-Pentru panta:

$$y = 1,0052 \times C_{PVP} + 15,292 \quad (36)$$

(coeficient de corelatie = 0,9718)

-Pentru intercept:

$$y = 1,9558 \times C_{PVP} + 2,9285 \quad (37)$$

(coeficient de corelatie = 0,9919)

in care C_{PVP} = continut de PVP din comprimate, %.

Reprezentarea grafica a ecuatiilor obtinute este redata in figura 44.

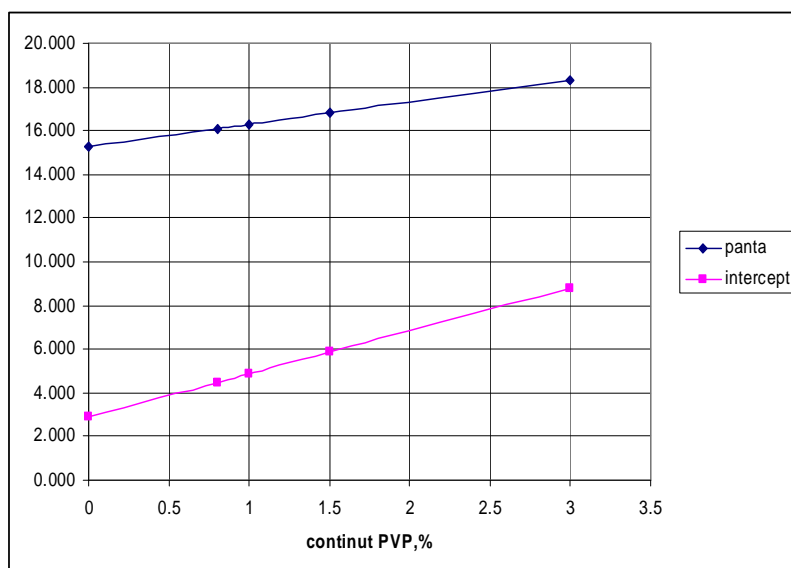


Figura 44: **Grafica ecuatiilor pentru panta si intercept**

4. Se introduc expresiile obtinute pentru panta si intercept in ecuatia (1) , in care $x = \sqrt{t}$. Se obtine ecuatia generala:

$$y = (1,0052 \times C_{PVP} + 15,292) \times \sqrt{t} + (1,9558 \times C_{PVP} + 2,9285) \quad (38)$$

5. Pentru verificarea modelului matematic stabilit, s-a procedat astfel: s-au realizat comprimate de bisoprolol fumarat prin granulare cu 2% PVP. Ulterior, utilizand modelul matematic, s-a calculat procentul de bisoprolol fumarat dizolvat, dupa care comprimatele au fost supuse testului de dizolvare *in vitro*, determinandu-se astfel profilul de dizolvare experimental.

Valorile calculate si, respectiv, cele obtinute experimental au fost utilizate pentru calculul adevarantei modelului (tabelul 56).

Tabelul 56. Valori ale procentului de bisoprolol fumarat dizolvat calculate conform ecuatiei generale si rezultatele experimentale pentru profilele de dizolvare

Timp, minute	% bisoprolol fumarat dizolvat		Diferente dintre valorile calculate si experimentale, %
	calculat	experimental	
5	45,53	43,16	2,37
10	61,55	59,62	1,93
15	73,85	70,22 *69,25;70,48;70,95	3,77
20	84,22	81,54	2,68
30	101,61	99,73	1,88
40	105,27	102,39	2,88

*valori obtinute la experimentele replicate

In figura 45, sunt reprezentate comparativ profilele de dizolvare (calculat si experimental) pentru comprimatele de bisoprolol fumarat cu 2% PVP.

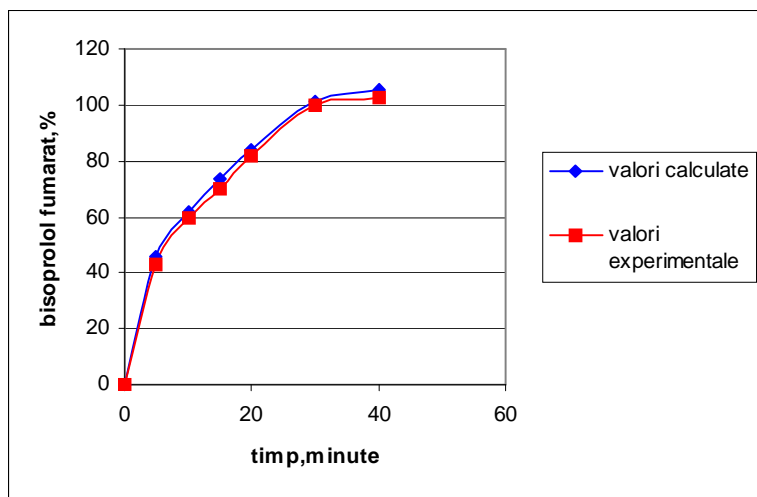


Figura 45: Profilele de dizolvare (calculat si experimental) pentru comprimatele de bisoprolol fumarat cu 2% PVP

Se observa ca profilele calculate sunt foarte apropiate de cele obtinute experimental. Pentru confirmarea utilizarii modelului matematic pe intreg intervalul studiat, s-a calculat adevarata acestuia cu ajutorul testului Fischer, pentru un interval de incredere de 95%. Pentru experientele replicate s-au efectuat trei determinari la timpul $t = 15$ minute; analiza de adevarata a luat in considerare doua grade de libertate. Dispersiile datorate erorilor de experienta (s_1^2) si, respectiv, abaterii valorilor calculate pe baza modelului matematic fata de cele obtinute experimental (s_2^2) au valorile:

$$s_1^2 = 42,566$$

$$s_2^2 = 7,094$$

Valoarea pentru testul Fischer se calculeaza cu relatia:

$$F_{\text{calc.}} = s_2^2 / s_1^2 \quad (39)$$

$$F_{\text{calc.}} = 0,167$$

Valoarea critica pentru distributia Fischer, pentru un interval de incredere de 95%, este:

$$F_{(95\%, 2,5)} = 19,296$$

Deoarece $F_{\text{calc}} << F_{(95\%, 2,5)}$, rezulta ca modelul este adekvat.

Analizand figura 43, se constata ca profilul de dizolvare al comprimatelor de referinta se situeaza intre cele ale comprimatelor realizate cu 1,5% PVP, respectiv cu 3% PVP. Pentru a stabili continutul de PVP din comprimatele de bisoprolol fumarat care sa asigure un profil de dizolvare cat mai apropiat de cel al produsului de referinta, s-a calculat, conform ecuatiei generale, profilul de dizolvare pentru comprimate cu un continut de PVP intre 1,6 si 2,8 %, respectiv cu 1,6%, 2,2%, 2,5% si 2,8 %PVP.

Profilele de dizolvare calculate comparativ cu profilul de dizolvare experimental al referintei sunt reprezentate in figura 46. Se observa ca, pentru obtinerea unui profil apropiat de cel al referintei, este necesara utilizarea in formula comprimatelor a unei cantitati de PVP cuprinsa intre 2,5 si 2,8%. Pentru 2,7% PVP, comprimatele au dizolvarea practic identica cu a produsului de referinta (figura 47).

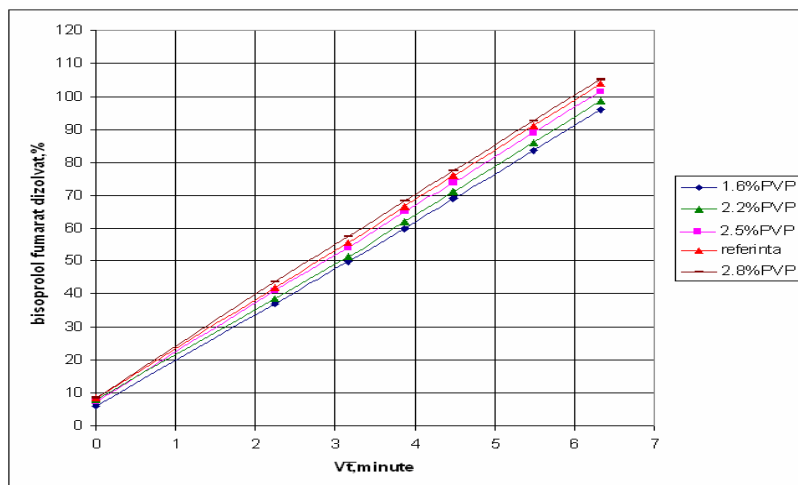


Figura 46: *Profilele de dizolvare calculate pentru comprimatele de bisoprolol fumarat cu diferite cantitati de PVP (1,6-2,8%) comparativ cu cel al produsului de referinta*

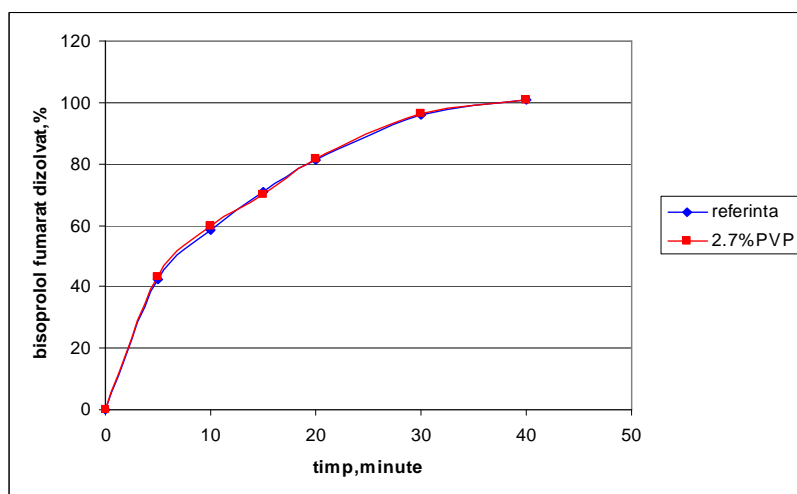


Figura 47: *Profilul de dizolvare al comprimatelor cu 2,7% PVP comparativ cu cel al produsului de referinta*

Studiile efectuate au condus la urmatoarele concluzii:

1. Natura si cantitatea de aglutinant utilizata la formularea comprimatelor de bisoprolol fumarat influenteaza comportarea la dizolvare a comprimatelor realizate;
2. Studiul efectuat a permis selectarea ca optima pentru realizarea de comprimate varianta care utilizeaza PVP, ca aglutinant;
3. S-a stabilit un model matematic care permite evaluarea profilului de dizolvare al comprimatelor in functie de cantitatea de PVP utilizata in granularea umeda;
4. S-a verificat experimental modelul matematic stabilit si s-a confirmat adevarata modelului cu ajutorul testului Fischer;
5. Pe baza modelului stabilit, s-a determinat cantitatea optima de aglutinant (2,7%), ce asigura comprimatelor test o dizolvare practic similara cu a comprimatelor de referinta;
6. Optimizarea profilului de dizolvare *in vitro* al comprimatelor de bisoprolol fumarat reprezinta premsa realizarii unui produs farmaceutic cu biodisponibilitate superioara, bioechivalent cu produsul de referinta.

6.3. Evaluarea stabilitatii comprimatelor filmate continand 10 mg bisoprolol fumarat

Testele de stabilitate a comprimatelor de 10 mg bisoprolol fumarat, pe termen lung, (la $25\pm2^{\circ}\text{C}$ si umiditate relativa $60\pm5\%$) si pe termen scurt (imbatranire accelerata la $40\pm2^{\circ}\text{C}$ si umiditate relativa $75\pm5\%$) au fost realizate pe trei serii de produs, la intervale de trei luni, pe durata a 12 luni, conform legislatiei in vigoare [150]. Pentru evaluarea perioadei de stabilitate a comprimatelor de 10 mg bisoprolol fumarat, s-a utilizat procedeul izoterm pe termen lung, bazat, in principal, pe viteza de degradare a substantei active. Prin interpolarea valorilor experimentale obtinute, s-a stabilit modelul matematic al procesului de degradare a bisoprololului fumarat si, respectiv, de crestere a continutului in produsi de degradare. Deoarece analizele efectuate pe perioada testului au aratat o variabilitate foarte mica intre cele trei serii analizate, pentru stabilirea modelului matematic s-au utilizat valorile medii. Evaluarea stabilitatii prin acest procedeu asigura, de regula, un timp de stabilitate mai redus fata de cel real cu 1-2 ani [151]. Parametrii calitativi si cantitativi evaluati in cadrul studiilor de stabilitate au fost stabili si caracterizati in paragraful 6.2.

6.3.1. Studiul stabilitatii comprimatelor filmate continand 10 mg bisoprolol fumarat in timp real

Valorile medii ale rezultatelor testarilor pe termen lung, pe trei serii de produs, sunt prezентate in tabelul 68. In decurs de 12 luni de conservare in ambalaj, la 25°C , continutul in bisoprolol fumarat, mg/comprimat, scade cu maxim 3,6 %. Aspectul comprimatelor nu s-a modificar pe intreaga perioada de conservare.

Tabelul 68. Modificarea in timp a parametrilor cantitativi ai comprimatelor filmate continand 10 mg bisoprolol (valori medii pe trei serii)

Timp, luni	0	3	6	9	12
Continut in bisoprolol fumarat, mg/comprimat filmat	9,964	9,890	9,780	9,700	9,680
Substante inrudite- suma, max. %	0,149	0,201	0,248	0,283	0,320
Log continut in bisoprolol fumarat, mg/comprimat filmat	0,998	0,995	0,990	0,989	0,986

Reprezentand grafic variatiile in timp a logaritmului concentratiei de bisoprolol fumarat (mg/comprimat filmat), s-a obtinut curba prezentata in figura 61. Se constata ca cinetica degradarii bisoprololului fumarat poate fi asimilata ca fiind de ordinul 1; liniarizarea degradarii s-a realizat prin interpolarea datelor obtinute experimental cu ajutorul unei functii cubice, obtinandu-se urmatoarea ecuatie de regresie:

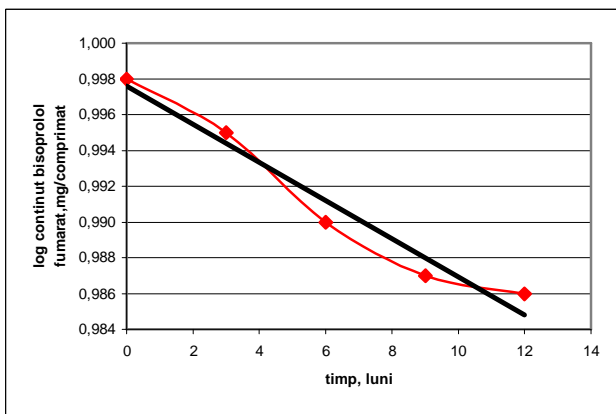


Figura 61: *Curba de degradare a bisoprololului fumarat la pastrarea in conditii izoterme la 25°C si reprezentarea ecuatiei de regresie*

$$\log c = -0,0011 \times t + 0,9976$$

(coeficient de corelatie 0.9588)

in care: c = continutul in bisoprolol fumarat, mg/comprimat
 t = timpul, luni.

Valorile experimentale si calculate din ecuatia de regresie care au stat la baza calculului sunt prezentate in tabelul 69.

Tabelul 69. *Valori experimentale si calculate pentru continutul in bisoprolol fumarat, mg/comprimat*

x	0	3	6	9	12
y_{exp}	9,964	9,890	9,780	9,700	9,680
y_{calc}	9,945	9,870	9,795	9,721	9,647

C_{si} , exprimata ca suma, max. %, poate fi asimilata dupa o cinetica de ordin zero, descrisa de ecuatia:

$$C_{si} = 0,0141 \times t + 0,1554$$

(coeficient de corelatie 0,9924)

In figura 62, este reprezentata dreapta de interpolare.

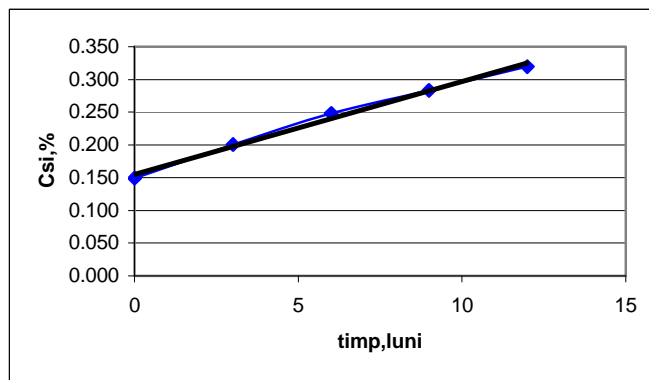


Figura 62 : *Cresterea continutului in substanțe inrudite , CsI, suma, max.% si reprezentarea ecuației de regresie*

Evaluarea grafica a perioadei de stabilitate a comprimatelor filmate de 10 mg bisoprolol fumarat pe baza determinarilor efectuate pe durata a 12 luni este prezentata in figura 63 (a si b), pentru urmatoarele conditii limita indeplinite simultan:

- continut minim de bisoprolol fumarat, mg/comprimat: 9,50;
- continut maxim de substanțe inrudite, suma max.%: 0,5.

Analizand graficele prezentate in figura mentionata, se evalueaza ca perioada de stabilitate a comprimatelor filmate de 10 mg bisoprolol fumarat, avand compozitia prezentata anterior, in conditii de pastrare in ambalaj tip blister din folie PVC – aluminiu introdus in cutie plianta din carton, la 25°C, se situeaza, cu o probabilitate de minim 95%, la cca 24 luni (2 ani).

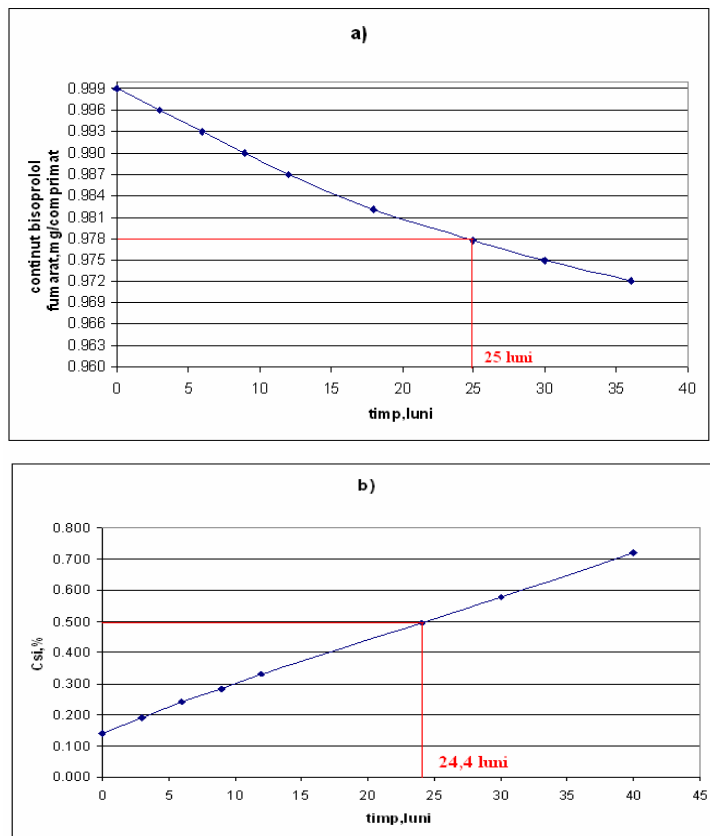


Figura 63: *Evaluarea grafica a perioadei de stabilitate a comprimatelor filmate de 10 mg bisoprolol fumarat*

6.3.2. Studiul stabilitatii comprimatelor filmate continand 10 mg bisoprolol fumarat in conditii izoterme de “imbatranire accelerata”

Valorile medii ale rezultatelor testarilor conform procedeului izoterm, la $40 \pm 2^\circ\text{C}$ si umiditate relativa $75 \pm 5\%$, timp de 6 luni, pe trei serii de produs, sunt prezentate in tabelul 71. In aceste conditii, continutul in bisoprolol fumarat, mg/comprimat, scade cu maxim 6,3 %. Aspectul comprimatelor nu s-a modificar pe intreaga perioada de conservare.

Tabelul 71. *Modificarea in timp a parametrilor cantitativi ai comprimatelor filmate continand 10 mg bisoprolol (valori medii pe trei serii)*

Temp, luni	0	1	2	4	6
Continut in bisoprolol fumarat, mg/comprimat filmat	10,066	9,923	9,847	9,614	9,526
Substante inrudite- suma, max. %	0,285	0,303	0,333	0,363	0,422

Prin interpolarea datelor experimentale, s-au obtinut urmatoarele ecuatii de regresie:

- pentru scaderea continutului de substanta activa, ecuatie de regresie de gradul 2 (figura 64):

$$c = 0,0084 \times t^2 - 0,1417 \times t + 10,068$$

(coeficient de corelatie 0,9926)

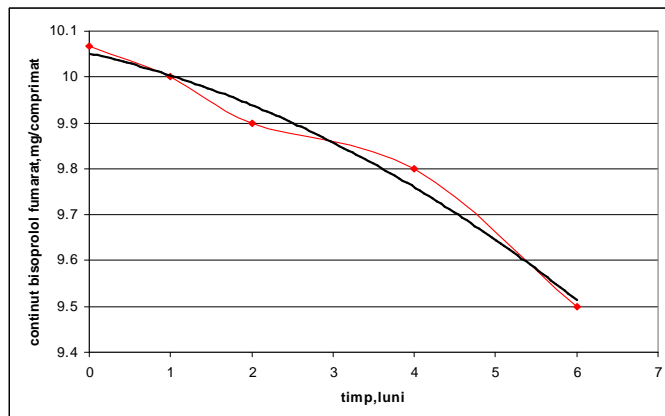


Figura 64: *Curba degradarii bisoprololului fumarat la pastrarea in conditii izoterme la 40°C si reprezentarea ecuatiei de regresie*

- pentru C_{si}, ecuatie de regresie de gradul 1 (figura 65):

$$C_{si} = 0,0224 \times t + 0,2819$$

(coeficient de corelatie 0,9900)

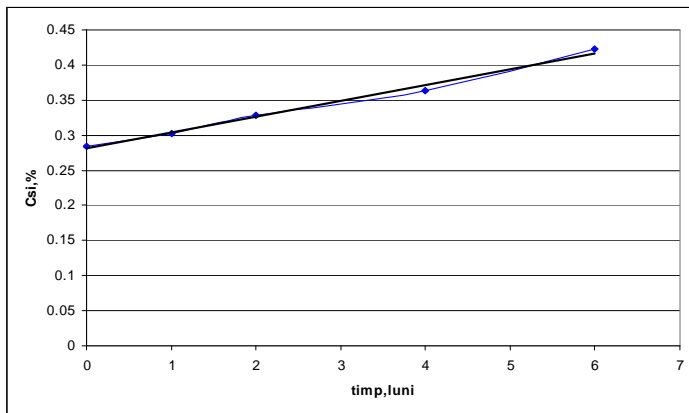


Figura 65: *Cresterea continuului in substante inrudite , Csi, suma, max.% si reprezentarea ecuatiei de regresie*

Evaluarea grafica a perioadei de stabilitate a comprimatelor filmate de 10 mg bisoprolol fumarat pe baza determinarilor efectuate pe durata a 6 luni este prezentata in figura 66 (a si b), pentru urmatoarele conditii limita indeplinite simultan:

- continut minim de bisoprolol fumarat, mg/comprimat: 9,50;
- continut maxim de substante inrudite, suma max.%: 0,5.

Analizand graficele prezentate, se evalueaza ca perioada de stabilitate a comprimatelor filmate de 10 mg bisoprolol fumarat, avand compozitia prezentata anterior, in conditii de pastrare in ambalaj tip blister din folie PVC-aluminiu introdus in cutie plianta din carton, la 40°C si u.r. $75\pm 5\%$, se situeaza la cca 24 luni (2 ani). Rezultatele obtinute in conditii de testare accelerata confirmă datele de stabilitate in timp real.

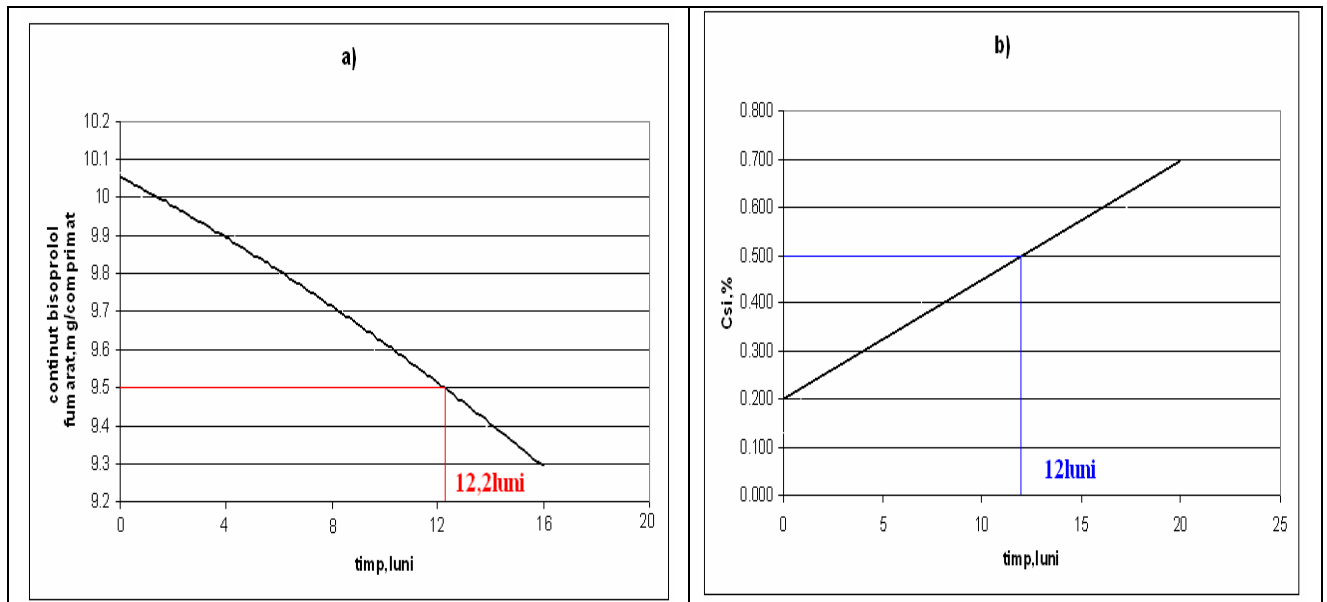


Figura 66: *Evaluarea grafica a perioadei de stabilitate la 40°C a comprimatelor filmate de 10 mg bisoprolol fumarat*

Cap. 7. EVALUAREA BIODISPONIBILITATII SI BIOECHIVALENTEI COMPRIMATELOR FILMATE DE BISOTENS® 10 MG BISOPROLOL FUMARAT VERSUS CONCOR® (Merck KgA) DUPA ADMINISTRARE ORALA LA 12 VOLUNTARI SANATOSI

7.1. Protocol de studiu. Rezumat

Studiul a avut ca scop compararea profilelor farmacocinetice si a biodisponibilitatii dupa administrare orala la 12 voluntari sanatosi a comprimatelor filmate Bisotens® (S.C. Antibiotice S.A.Iasi) continand 10 mg bisoprolol fumarat (produs test), comparativ cu comprimatele filmate de referinta Concor® (Merck KgA), continand 10 mg bisoprolol fumarat.

Studiul s-a realizat pe un grup de 12 voluntari sanatosi de rasa Caucaziana (5 femei si 7 barbati), cu o medie de varsta de 20,75 ani, avand inaltimea medie de 1,76 m, greutatea medie corporala de 68,12 kg si un indice de masa corporala de 21,86 kg/m².

Pe baza concentratiilor plasmatic ale bisoprololului, determinate prin metoda cromatografica, au fost calculati urmatorii parametri farmacocinetici: C_{max} , T_{max} , $T_{1/2}$, ASC_{0-t} si $ASC_{0-\infty}$. Valorile ASC si C_{max} au fost transformate logaritmic inainte de analiza statistica. Criteriile de evideniere a bioechivalentei luate in considerare au fost:

- Raportul C_{max} trebuie sa se situeze in domeniul 80-125, pentru un interval de incredere de 90%;
- Raportul ASC trebuie sa se situeze in domeniul 80-125 %, pentru un interval de incredere de 90%.

Parametrii farmacocinetici au fost determinati cu ajutorul programului Kinetica, versiunea 5.0. (InnaPhase Corporation, SUA). Evaluarea diferenței T_{max} s-a realizat cu testul non-parametric Kruskal Wallis. Analiza de varianță (ANOVA) s-a condus pentru efectele ce tin de secvența și de tratament.

7.3. Elaborarea si validarea metodei de determinare a bisoprololului din probele de plasma umana

Datele de literatura indica posibilitatea determinarii cantitative a bisoprololului fumarat din fluide biologice [154-158]. In acest context, s-a dezvoltat si validat o metoda bioanalitica LC-MS de determinare a concentratiilor plasmatic de bisoprolol, utilizand metoprololul ca standard intern, ale carei rezultate au facut subiectul a doua articole stiintifice publicate, cu titlurile: “*A new liquid chromatography-tandem mass spectrometry method for determination of bisoprolol in human plasma samples*” [159], si “*Experimental research for determination of bisoprolol fumarate in human plasma samples using liquid-chromatography-tandem mass spectrometry (LC-MS/MS) technique*” [160].

Metoda bioanalitica a fost aplicata in scopul determinarii concentratiilor plasmatic ale bisoprololului fumarat, in cadrul studiului de bioechivalenta dezvoltat in cadrul Centrului de Evaluare al Medicamentului, S.C. Antibiotice S.A. Iasi. Acest studiu a avut ca scop compararea profilelor farmacocinetice si a biodisponibilitatii dupa administrare orala la 12 voluntari sanatosi a comprimatelor filmate Bisotens® continand 10 mg bisoprolol fumarat (produs test), comparativ cu comprimatele filmate de referinta Concor® (Merck KgA), continand 10 mg bisoprolol fumarat.

7.4.1. Date primare si reprezentarea lor grafica

Rezultatele obtinute in etapa analitica au fost prelucrate cu ajutorul programului specific Kinetica 5.0. (InnaPhase Corporation, SUA).

Valorile obtinute pentru principalii parametrii farmacocinetici sunt redate in tabelul 90 (produs test), respectiv tabelul 91 (produs referinta).

Tabelul 90. *Valorile parametrilor farmacocinetici obtinute dupa prelucrarea statistica a datelor primare - produs test*

Codificare subiect	Secventa	Doza, mg	Cmax, ng/ml	Tmax, h	ASC _{0-t} (ng/ml*h)	ASC _{0-∞} (ng/ml*h)	T _{1/2}
S01	RT	10	38.27	2.50	516.26	661.16	15.51
S02	TR	10	67.47	0.50	742.16	766.96	7.14
S03	RT	10	38.30	1.50	433.62	455.50	8.33
S04	TR	10	54.05	2.50	518.09	561.95	10.01
S05	RT	10	42.09	2.00	450.19	473.35	8.20
S06	TR	10	46.72	1.50	529.18	576.03	10.34
S07	RT	10	41.92	1.50	500.88	530.76	9.20
S08	TR	10	37.47	2.50	510.28	568.69	11.45
S09	TR	10	46.93	3.50	620.05	667.13	8.78
S10	RT	10	39.48	2.00	884.70	904.06	7.98
S11	TR	10	41.99	2.50	986.79	1009.94	7.56
S12	RT	10	54.02	2.00	693.29	721.40	7.42
<i>Media</i>	-	-	45.73	2.04	615.46	658.08	9.33
<i>SD</i>	-		8.91	0.75	176.80	169.39	2.34
<i>CV, %</i>	-	-	19.48	36.86	28.73	25.74	25.07
<i>N</i>			12.00	12.00	12.00	12.00	12.00
<i>Min</i>			37.47	0.50	433.62	455.50	7.14
<i>Max</i>			67.47	3.50	986.79	1009.94	15.51

Tabelul 91. *Valorile parametrilor farmacocinetici obtinute dupa prelucrarea statistica a datelor primare - produs referinta*

Codificare subiect	Secventa	Doza, mg	Cmax, ng/ml	Tmax, h	ASC _{0-t} (ng/ml*h)	ASC _{0-∞} (ng/ml*h)	T _{1/2}
S01	RT	10	33.76	3.00	483.96	511.05	8.08
S02	TR	10	37.47	2.50	510.28	568.69	11.45
S03	RT	10	33.92	2.00	415.73	444.19	8.93
S04	TR	10	42.09	2.00	450.19	473.35	8.20
S05	RT	10	47.19	1.00	508.06	528.24	7.25
S06	TR	10	41.92	1.50	500.88	530.76	9.20
S07	RT	10	57.05	1.50	673.14	698.88	7.48
S08	TR	10	42.87	1.50	455.00	480.03	8.37
S09	TR	10	39.48	2.00	457.71	477.07	7.98
S10	RT	10	40.25	2.50	1075.50	1099.09	7.47
S11	TR	10	47.44	3.50	1139.73	1162.32	7.57
S12	RT	10	50.63	4.50	1060.67	1092.52	9.37
<i>Media</i>	-	-	42.84	2.29	644.24	672.18	8.45
<i>SD</i>	-	-	6.83	0.99	277.81	276.96	1.18
<i>CV, %</i>	-	-	15.94	43.10	43.12	41.20	13.91
<i>N</i>	-	-	12.00	12.00	12.00	12.00	12.00
<i>Min</i>	-	-	33.76	1.00	415.73	444.19	7.25
<i>Max</i>	-	-	57.05	4.50	1139.73	1162.32	11.45

7.4.2. Evaluarea statistica a bioechivalentei

Valorile medii ale principalilor parametri farmacocinetici si rapoartele lor sunt prezentate in tabelul 92.

Tabelul 92. *Valorile medii ale principalilor parametri farmacocinetici*

Parametrul	Test		Referinta		Raportul mediu*	Interval de confidenta 90% **
	Media ± SD	CV (%)	Media ± SD	CV (%)		
C _{max} (ng /ml)	45.73 ± 8.91	19.48	42.84± 6.83	15.94	106.295	94.565 – 119.48
ASC _{0-t} (ng * h/ml)	615.46± 176.80	28.73	644.24 ± 277.81	43.12	99.285	89.989 – 109.540
ASC _{0-∞} (ng * h/ml)	658.08± 169.39	25.74	672.18 ± 276.96	41.20	101.716	91.293 – 113.333
T _{max} (h)	2.04± 0.75	36.86	2.29 ± 0.99	43.10	-	-
T _{1/2} (h)	9.33± 2.34	25.07	8.45 ± 1.18	13.91	-	-

*Media geometrica a valorilor logaritmice

** Pentru valori logaritmice

Intrucat:

- rapoartele intre parametrii farmacocinetici, ca valori medii, sunt situate in intervalul 80-125%
- testelete neparametrice pentru Tmax (Kruskal Wallis Design) (vezi anexa) indica diferente nesemnificative rezulta ca cele doua produse, test si referinta, sunt bioechivalente.

CONCLUZII (Selectiv)

Cercetarile intreprinse si rezultatele obtinute in cadrul prezentei teze au condus la urmatoarele concluzii:

1.Metodele de sinteza ale reprezentantilor acestei clase terapeutice, inclusiv ale bisoprololului fumarat, sunt accesibile in conditiile obisnuite pentru sinteza compusilor organici.

2.Sinteza bisoprololului fumarat din alcool 4-hidroxibenzilic si 2-isopropoxietanol decurge in urmatoarele etape: reactia de eterificare a alcoolului 4-hidroxibenzilic cu 2-isopropoxietanol, in cataliza eterogena, in prezenta de Amberlyst 15, condensarea derivatului obtinut, 4-[(2-isopropoxietoxi)metil-fenol, cu epiclorhidrina (realizata in absenta si in prezenta PEG-400, drept catalizator cu transfer de faza), obtinerea bisoprololului baza prin condensarea derivatului epoxidic obtinut cu isopropilamina, obtinerea bisoprololului fumarat din bisoprolol baza.

3.Studiile preliminare efectuate au demonstrat dependenta reactiei de eterificare a alcoolului 4-hidroxibenzilic cu 2-isopropoxietanol, in cataliza eterogena, de urmatorii parametri independenti: raportul molar al reactantilor, timpul si temperatura reactiei.

4.Modelarile statistice realizate distinct pentru cele doua faze ale reactiei, initiere si perfectare, au condus la urmatoarele valori, pentru cei trei parametri:

-in faza de initiere: raport molar 2-isopropoxietanol /alcool 4-hidroxibenzilic=13,535; timp de reactie = 156,9 minute si temperatura de reactie= 3,5 °C (pentru o valoare maxima a randamentului de reactie 74,88%);

- in faza de perfectare: timp de reactie =14 ore si temperatura de reactie= 16 °C (pentru o valoare maxima a randamentului de 96,985%). Timpul total al reactiei chimice de eterificare reprezinta suma timpilor celor doua etape distincte, respectiv 1116,9 minute.

5.Aceste rezultate au fost confirmate si prin modelarea neuronala a reactiei de eterificare. Astfel, in faza de initiere, randamentul maxim este de 74,9% si se obtine in urmatoarele conditii: raport molar al reactantilor = 15,5; temperatura = 3,5°C si timpul de reactie = 2,7 ore.

In faza de perfectare a reactiei, simularea efectuata cu ajutorul modelului neuronal *MLP(2:3:1)* confirma obtinerea randamentului optim de aproximativ 97%, la un timp de reactie de 14 ore si o temperatura de 16 °C.

6.Reactia de condensare a derivatului obtinut in prima etapa, 4-[(2-isopropoxietoxi)metil-fenol, cu epiclorhidrina, a fost realizata in mediu bazic, atat in absenta, cat si in prezenta PEG-400 (catalizator cu transfer de faza). Modelarile statistice realizate distinct in cele situatii, au demonstrat ca, in absenta PEG-400, se obtine un randament maxim de reactie 78,04 %, in urmatoarele conditii: timp de reactie= 1,05 ore (63 minute) si temperatura de reactie = 51,2°C. In prezenta PEG-400, se obtine un randament de reactie maxim de 81,56%, in urmatoarele conditii: timp de reactie= 1,12 ore, temperatura= 50°C si raport molar PEG-400- 4-[(2-isopropoxietoxi)metil-fenol= 0,4.

Utilizarea catalizatorului cu transfer de faza a condus la o crestere a randamentului reactiei de condensare, de la 78,04 % la 81,56%.

7.Reactia de condensare a derivatului epoxidic obtinut anterior, 2-[[4-(isopropoxietoxi)metil]-fenoximetil]oxiranul cu isopropilamina decurge in mediu de metanol si conduce la obtinerea bisoprololului baza, cu un randament de 79,91%.

8.Obtinerea bisoprololui fumarat s-a realizat prin tratarea bisoprololului baza obtinut anterior cu acid fumaric, in mediu de acetona, cu un randament de reactie de 75,80%.

9.Natura si cantitatea de aglutinant utilizata la formularea comprimatelor de bisoprolol fumarat influenteaza comportarea la dizolvare a comprimatelor realizate;

10.Cercetarile efectuate au permis selectarea, ca optima pentru realizarea de comprimate, varianta care utilizeaza PVP, ca aglutinant;

11.S-a stabilit un model matematic care permite evaluarea profilului de dizolvare al comprimatelor in functie de cantitatea de PVP utilizata in granularea umeda. Pe baza modelului stabilit, s-a determinat cantitatea optima de aglutinant (2,7%), ce asigura comprimatelor test o dizolvare practic similara cu a comprimatelor de referinta;

12.Optimizarea profilului de dizolvare *in vitro* al comprimatelor de bisoprolol fumarat reprezinta premsa realizarii unui produs farmaceutic cu biodisponibilitate superioara, bioechivalent cu produsul de referinta.

13. Testele de stabilitate a comprimatelor de 10 mg bisoprolol fumarat, pe termen lung, (la $25 \pm 2^\circ\text{C}$ si umiditate relativa $60 \pm 5\%$) si pe termen scurt (imbatranire accelerata la $40 \pm 2^\circ\text{C}$ si umiditate relativa $75 \pm 5\%$) au fost realizate la intervale de trei luni, pe durata a 12 luni. Astfel, perioada de stabilitate a comprimatelor filmate de 10 mg bisoprolol fumarat, in conditii de pastrare in ambalaj tip blister din folie PVC – aluminiu introdus in cutie plianta din carton, la 25°C , se situeaza, cu o probabilitate

de minim 95%, la cca 24 luni. Perioada de stabilitate a comprimatelor filmate de 10 mg bisoprolol fumarat, in conditii de pastrare in ambalaj tip blister din folie PVC – aluminiu introdus in cutie plianta din carton, la 40°C si u.r. $75 \pm 5\%$, se situeaza la cca 24 luni. Rezultatele obtinute in conditii de testare accelerata au confirmat datele de stabilitate in timp real. De asemenea, in urma expunerii UV-VIZ comprimatelor de bisoprolol fumarat realizate, toti parametrii calitativi si cantitativi controlati s-au situat in limitele de admisibilitate.

14. Studiul de bioechivalenta pentru Bisotens® comprimate filmate 10 mg bisoprolol fumarat (S.C. Antibiotice S.A.) versus Concor® comprimate filmate 10 mg bisoprolol fumarat (Merck, KgA.) s-a desfasurat la Centrului de Evaluare a Medicamentului din cadrul S.C. Antibiotice S.A. Iasi.

15. Rapoartele intre principalii parametrii farmacocinetici, ca valori medii, au fost situate in intervalul 80-125%, iar testelete neparameetrice pentru T_{max} (Kruskal Wallis Design) au indicat diferente nesemnificative, ceea ce semnifica ca cele doua produse, test si referinta, sunt bioechivalente.

ACTIVITATEA STIINTIFICA DIN CADRUL TEZEI DE DOCTORAT

Articole publicate in reviste cotate ISI

- 1.** Gabriela Peste, Nela Bibire, Mihai Apostu, Aurel Vlase, Cornelius Oniscu, *A new liquid chromatography-tandem mass spectrometry method for determination of bisoprolol in human plasma samples*, Journal of Biomedicine and Biotechnology, vol. 2009, nr.1, Article ID 736327, 8 pages, 2009;
- 2.** Gabriela Peste, Cornelius Oniscu, Aurel Vlase, *Experimental research for determination of bisoprolol fumarate in human plasma samples using liquid-chromatography-tandem mass spectrometry (LC-MS/MS) technique*, Roumanian Biotechnological Letters, 2010, 2, 15, 5140-5145.
- 3.** Cornelius Oniscu, Cristina Victorina Vlase, Geanina-Gabriela Peste, “*A new high performance liquid chromatographic method for determination of bisoprolol in plasma samples*”, Roumanian Biotechnological Letters, 2007, 12, 1, 3079-3084;
- 4.** Gabriela Peste, Nela Bibire, Rodica Diaconescu, Cornelius Oniscu, *Mathematical Modeling of 4-[(2-isopropoxyethoxy)-methyl]phenol synthesis*, Farmacia (Buc.), 2010, 58, (4), 428;
- 5.** Gabriela Peste, Nela Bibire, Rodica Diaconescu, Cornelius Oniscu, *A new liquid chromatographic method for determination of 4-hydroxybenzyl alcohol in 2-isopropoxy ethanol solution*, Farmacia (Buc.), 2010, 58 – *in press*.

BIBLIOGRAFIE SELECTIVA

1. Oniscu C., *Chimia si Tehnologia Medicamentelor*, Editura Tehnica, Bucuresti, 1988, 410-413;
95. Moffat A., Osselton M., Widdop B., 3rd edition, Bisoprolol: Clarke's Analysis of Drug and Poisons;
96. Haffner et al., *A Metabolic Assessment of The Beta1 Selectivity of Bisoprolol*, J. Hum. Hypertens., 1992, 6(5): 397-400;
97. Metra M., Nodari S., Bordonali T., Milani P., Lombardi C., Bugatti S., Fontanella B., Verzura G., Danesi R., Dei Cas L., *Bisoprolol in the treatment of chronic heart failure: from pathophysiology to clinical pharmacology and trial results*, Ther Clin Risk Manag., 2007 August, 3(4): 569–578;
98. Leopold G., Ungethüm W., Pabst J., Simane Z., Bühring K. U., Wiemann H., *Pharmacodynamic profile of bisoprolol, a new beta 1-selective adrenoceptor antagonist*, Br. J. Clin. Pharmacol., 1986, September, 22(3): 293–300;
99. Jovanovic D., Cusic S., Rancic D., Srnic D., Perkovic-Vukcevic N., *A Pharmacokinetic Comparison of Generic Tablets Containing Bisoprolol with the Innovator Formulation in Healthy Volunteers*, Journal of Clinical Pharmacology , 2006, 46:1217-1222;
101. <http://www.drugs.com/pro/bisoprolol-hydrochlorothiazide.html>;
104. H. Deng , C. -L. Liu , H. -X. Zhang, M. -C. Liu , P. -L. Zhu , *Development of HPLC method for the determination of gastrodin and para-hydroxybenzyl alcohol in tall gastrodia tuber on the polyglycol-C₈ column*, Analytical Letters, 2001, Vol. 34, Issue 4, 615 – 626;
105. Li HX, Ding MY, Yu JY, *Simultaneous determination of p-hydroxybenzaldehyde, p-hydroxybenzyl alcohol, 4-(beta-D-glucopyranosyloxy)-benzyl alcohol, and sugars in Gastrodia elata blume measured as their acetylated derivatives by GC-MS*, J.Chromatogr. Sci., 2001 Jun, 39(6):251-4;
106. Ke-Xin Liu , Guo-Zhu Han, Ya-Lun Chang, Cheng-Ye Su, Nan-Yuan Tang , Yu-Ren Chen, *Simultaneous determination of gastrodin and its metabolite by HPLC*, Biomedical Chromatography, 2005, Vol. 2, Issue 1, 17-19;
107. Hong-Xia Li, Ming-Yu Ding, Jian-Yuan Yu, *Studies on the Reaction of p-Hydroxybenzyl Alcohol and Hydroxyl Radicals*, J. Chromatogr. Sci., 2001,39(9):393-396;
108. Hecht Stephen S., Carmella Steven, Hoffmann Dietrich, *Chemical Studies on Tobacco Smoke - LIV Determination of Hydroxybenzyl Alcohols and Hydroxyphenyl Ethanols in Tobacco and Tobacco Smoke*, Journal of Analytical Toxicology, 1978 ,Vol. 2, Nr. 2, pp. 56-59 (4);
109. Arun Kumar Sinha, Subash Chandra Verma, Upendra Kumar Sharma, *Development and validation of an RP-HPLC method for quantitative determination of vanillin and related phenolic compounds in Vanilla planifolia*, Journal of Separation Science, 2007,Vol.30 Issue 1, 15 – 20;
110. Jamoussi B., Bedoui A., Hassine B.Ben, Abderraba A., *Analyses of phenolic compounds occurring in olive oil mill wastewaters by GC-MS*, Toxicological&Environmental Chemistry, 2005, Vol. 87, Issue 1, 45 – 53;
111. Gabriela Peste, Nela Bibire, Rodica Diaconescu, Corneliu Oniscu, *A new liquid chromatographic method for determination of 4-hydroxybenzyl alcohol in 2-isoproxy ethanol solution*, Farmacia (Buc.), 2010, 58 – in press;
112. Simionovici M.,Carstea A., Vladescu C., *Cercetarea farmacologica si prospectarea medicamentelor*, Ed. Medicala, Bucuresti, 1983;
113. Mihail R., *Introducere in strategia experimentarii cu aplicatii din tehnologia chimica*, Ed. Stiintifica si Enciclopedica, Bucuresti, 1976;
114. Liteanu C., Raca I., Optimizarea proceselor analitice, Ed.Academiei, RSR, Bucuresti, 1985;
115. Gabriela Peste, Nela Bibire, Rodica Diaconescu, Corneliu Oniscu, *Mathematical Modeling of 4-[(2-isoproxyethoxy)-methyl]phenol synthesis*, Farmacia (Buc.), 2010, 58, (4),428;
121. M. C. Bruzzoniti, S. Andrensek, M. Novic, D. Perrachon, C. Sarzanini, *Determination of epichlorohydrin by sulfite derivatization and ion chromatography: characterization of the sulfite derivatives by ion chromatography-mass spectrometry*, Journal of Chromatography, 23 April 2004, Vol. 1034, Issues 1-2, 243-247;
122. J.Novák, M.Bleha, J.Coupek, *Reaction of epichlorohydrin with methanol investigated by gel chromatography*, Die Angewandte Makromolekulare Chemie, 2003, Vol. 64, Issue 1, 187-196;

- 123.** Sarzanini C., Bruzzoniti M.C., Mentasti E., *Determination of epichlorohydrin by ion chromatography*, Journal of Chromatography, 2000, vol. 884, n° 1-2 (339 p.) (7 ref.), 251-259;
- 124.** M. Lasa, R. Garcia, E. Millán, *A Convenient Method for Epichlorohydrin Determination in Water Using Headspace–Solid-Phase Microextraction and Gas Chromatography*, Journal of Chromatographic Science, August 2006, Vol. 44, Number 7, 438-443;
- 125.** Sung J.H. , Lee Y.H., Park H.J., *New method for determination of epichlorohydrin in epoxy-coated cans by oxolane derivatization and gas chromatography-mass spectrometry*, J. Chromatogr. A, 2008 Aug 1;1201(1):100-5. Epub 2008 Jun 11;
- 129.** Ji Chen, S. K. Spear, J. G. Huddleston, R. D. Rogers, *Polyethylene glycol and solutions of polyethylene glycol as green reaction media*, Green. Chem., 2005, 7, 64-82;
- 130.** Stark et al., *Multiparticulate bisoprolol formulation*, United States Patent 6,733,789, 2004;
- 138.** European Pharmacopoeia , 6th edition, 2007;
- 149.** Higuchi T., *Mechanism of sustained action medication: theoretical analysis of rate of release of solid drugs dispersed in solid matrices*, J Pharm Sci. 1963;52:1145–1149;
- 150.** European Drug Master File-Requirements-Appendix V: *Note for Guidance Stability tests on Active ingredients and finished products*, ian. 1989; ICH Harmonised Tripartite Guideline Stability Testing of New Drugs and Product, 1983;
- 151.** EMEA, CPMP/QWP/556 P96, *Note for Guidance Stability Testing of Existing Active Substances and Related Finished Products*, 1998;
- 154.** M.D. Hernando, M. Petrovic, A.R. Fernandez –Alba, D. Barcelo, *Analysis by liquid chromatography-electrospray ionization tandem mass spectrometry and acute toxicity evaluation for β-blockers and lipid-regulating agents in wastewater samples*, Journal of Chromatography A, 2004, 1046, 133-140;
- 155.** Shuijun Li, Gangyi Liu, Jingying Jia, Yun Liu, Cheng Pan, Chen Yu, Yongbao Cai, Jianying Ren, *imultaneous determination of ten antiarrhythmics drugs and a metabolite in human plasma by liquid chromatography- tandem mass spectrometry*, Journal of Chromatography.B ISSN, 2007, 847, 2, 174-181;
- 156.** Bhatt J., Subbiah G., Kambli S., Shah B., Patel M., Saxena A., Baliga A., Nigam S., Parekh H., Yadav G., *A high throughput and sensitive liquid chromatography-tandem mass spectrometry (LC-MMS/MS) method for the estimation of bisoprolol in human plasma using multiplex technique*, Journal of Chromatography. B ISSN 1570-0232 , 2007, 852, 1-2, 374-381;
- 157.** Liu Mingyuan, Zhang Dan, Sun Yantong, Wang Yingwu, Liu Zeyuan, Gu Jingkai, *Liquid chromatographic-electrospray tandem mass spectrometric determination of bisoprolol in human plasma*, Biomedical Chromatography : BMC 2007;21(5):508-13;
- 158.** Gang-yi Liu, Wei Wang, Jing-ying Jia, Chuan Lu, Yan-mei Liu, Meng-qi Zhang, Yun Liu, Shui-jun Li, Chen Yu, *Liquid chromatography tandem mass spectrometry method for determination of bisoprolol in human plasma using d5-bisoprolol as the internal standard*, Biomedical Chromatography, 2009, Vol.9999, Issue 9999;
- 159.** Gabriela Peste, Nela Bibire, Mihai Apostu, Aurel Vlase, Corneliu Oniscu, *A new liquid chromatography-tandem mass spectrometry method for determination of bisoprolol in human plasma samples*, Journal of Biomedicine and Biotechnology, vol. 2009, nr.1, Article ID 736327, 8 pages, 2009;
- 160.** Gabriela Peste, Corneliu Oniscu, Aurel Vlase, *Experimental research for determination of bisoprolol fumarate in human plasma samples using liquid-chromatography-tandem mass spectrometry (LC-MS/MS) technique*, Roumanian Biotechnological Letters, 2010, 2, 15, 5140-5145.